

**T.C.  
MANİSA CELAL BAYAR ÜNİVERSİTESİ  
FEN BİLİMLERİ ENSTİTÜSÜ**

**YÜKSEK LİSANS TEZİ  
MATEMATİK ANABİLİM DALI  
UYGULAMALI MATEMATİK BİLİM DALI**

**Pertürbasyon-Sonlu Farklar  
Metodunun Titreşim Problemlerine  
Uygulaması**

**Emine KAHRAMAN**

**Danışman  
Doç. Dr. Duygu DÖNMEZ DEMİR  
II. Danışman  
Doç. Dr. B. Gültekin SINIR**



**MANİSA-2018**

**Emine  
KAHRAMAN**

**Pertirbasyon-Sonlu Farklar  
Metodunun Titreşim Problemlerine  
Uygulanması**

**2018**

## TEZ ONAYI

**Emine KAHRAMAN** tarafından hazırlanan "**Pertürbasyon-Sonlu Farklar Metodunun Titreşim Problemlerine Uygulaması**" adlı tez çalışması 15/03/2018 tarihinde aşağıdaki jüri üyeleri önünde Manisa Celal Bayar Üniversitesi Fen Bilimleri Enstitüsü **Matematik Anabilim Dalı**'nda **YÜKSEK LİSANS TEZİ** olarak savunulmuş ve **oybirliği** ile başarılı olarak kabul edilmiştir.

<b>Danışman</b>	<b>Yrd. Doç. Dr. Duygu DÖNMEZ DEMİR</b> .....
	Manisa Celal Bayar Üniversitesi
<b>II. Danışman</b>	<b>Doç. Dr. B. Gültekin SINIR</b> .....
	Manisa Celal Bayar Üniversitesi
<b>Jüri Üyesi</b>	<b>Prof. Dr. Necdet BİLDİK</b> .....
	Manisa Celal Bayar Üniversitesi
<b>Jüri Üyesi</b>	<b>Doç. Dr. H. Seçil ARTEM</b> .....
	İzmir Yüksek Teknoloji Enstitüsü
<b>Jüri Üyesi</b>	<b>Doç. Dr. Erkan DOĞAN</b> .....
	Manisa Celal Bayar Üniversitesi

## **TAAHHÜTNAME**

Bu tezin Manisa Celal Bayar Üniversitesi Fen Edebiyat Fakültesi Matematik Bölümü'nde, akademik ve etik kurallara uygun olarak yazıldığını ve kullanılan tüm literatür bilgilerinin referans gösterilerek tezde yer aldığını beyan ederim.

**Emine KAHRAMAN**



## İÇİNDEKİLER

	Sayfa
İÇİNDEKİLER .....	I
SİMGELER VE KISALTMALAR DİZİNİ .....	III
ŞEKİLLER DİZİNİ.....	V
TABLO DİZİNİ .....	VI
TEŞEKKÜR.....	VII
ÖZET.....	VIII
ABSTRACT.....	IX
1. GİRİŞ .....	1
2. TEZİN AMACI.....	4
I. BÖLÜM .....	5
TEMEL KAVRAMLAR.....	5
1.1. Lineer ve Lineer Olmayan Operatörler .....	5
1.2. Süreksizlik Fonksiyonları.....	5
1.3. Bazı Özel Süreksizlik Fonksiyonları .....	7
1.3.1. Heaviside Adım Fonksiyonu .....	7
1.3.2. Dirac Delta Fonksiyonu .....	7
1.4. Çözülebilirlik Şartı .....	8
1.5 Self-Adjointlik Şartı .....	8
1.6. Nümerik İntegrasyon.....	10
1.6.1. Yamuk (Trapez) Kuralı.....	11
1.6.2. Simpson 1/3 Kuralı .....	14
1.7. Sonlu Farklar Yöntemi .....	16
1.8. Pertürbasyon Metodu .....	17
II. BÖLÜM.....	19
2.1. Genel Model .....	19
2.2. Çok Zaman Ölçekli Metodun Uygulaması.....	20
2.3. Sonlu Farklar Yönteminin Uygulaması.....	21
2.4. Durum İncelenmesi .....	25
2.4.1. $\Omega_1$ 'in 0 ve $2\omega_n$ 'den, $\Omega_2$ 'nin $\omega_n$ 'den uzak olduğu durum.....	25
2.4.2. $\Omega_1$ in 0 'a yakın, $\Omega_2$ 'nin $\omega_n$ 'den uzak olduğu durum .....	26
2.4.3. $\Omega_1$ 'in $2\omega_n$ 'e yakın, $\Omega_2$ 'nin $\omega_n$ 'den uzak olduğu durum.....	27
2.4.4. $\Omega_1$ 'in 0 ve $2\omega_n$ 'den uzak, $\Omega_2$ 'nin $\omega_n$ 'e yakın olduğu durum.....	29
III. BÖLÜM .....	31
UYGULAMALAR .....	31
3.1. Winkler Tipi Elastik Temel Üzerindeki Kirişin Enine Titreşimleri.....	31
3.1.1. Klasik Çözüm .....	33
3.1.2. $\Omega$ 'nin $\omega_n$ 'den ( $\Omega \neq \omega_n$ ) uzak olduğu durum .....	36
3.1.3 $\Omega$ 'nin $\omega_n$ ( $\Omega \cong \omega_n$ ) olduğu durum .....	37
3.1.4. Sayısal sonuçlar .....	39
3.2. Parametrik Eksenel Kuvvete Maruz Düşey Olarak Yerleştirilmiş Çoklu Yay Mesnetli Kirişler .....	40
3.2.1. Klasik çözüm .....	42
3.3. Kütle-Kiriş Sistemi.....	44
IV. BÖLÜM .....	50
SONUÇ VE ÖNERİLER .....	50

KAYNAKLAR .....	51
ÖZGEÇMİŞ .....	54



## SİMGELER VE KISALTMALAR DİZİNİ

$w$	Düşey doğrultudaki yer değiştirme
$u$	Yatay doğrultudaki yer değiştirme
$a(x)$	Enine kesit ve kütle değişimi temsil eden fonksiyon
$x$	Yapı elemanının yönünü gösteren konum değişkeni
$t$	Zaman değişkeni
$y(x,t)$	Enine deplasman
$L_1[y]$	Rijit yapı elemanı
$L_2[y]\cos\Omega_1 t$	Parametrik zorlama terimi
$F(x)\cos\Omega_2 t$	Harmonik dış kuvvet
$F(x)$	Dış kuvvetin genliği
$\Omega_1$	İç zorlama frekansı
$\Omega_2$	Dış zorlama frekansı
$\varepsilon$	Boyutsuz çok küçük bir parametre
$N$	Alt aralık sayısı
$L$	İki mesnet arası uzunluk
$A$	Kesit alanı
$I$	Atalet momenti
$E$	Elastisite modülü
$\hat{\mu}$	Lineer viskoz sönüm katsayısı
$\hat{k}$	Yay sabiti
$\hat{f}$	Dış zorlama kuvveti
$\hat{\Omega}$	Dış zorlama frekansı
$m$	Birim kesit kütlesi
$\hat{P}(\hat{t})$	Eksenel harmonik basınç yükü
$\langle \hat{x} - \hat{\eta}_j \rangle^{-1}$	Singülerite fonksiyonu
$\rho$	Yoğunluk
$\bar{M}_j$	Konsantre kütle
$\hat{g}$	Dış zorlama genliği

$T_0$	Hızlı zaman ölçeği
$T_1$	Yavaş zaman ölçeği
$T_2$	Daha yavaş zaman ölçeği
$D_n$	$T_n$ 'ye göre türev
$\omega_n$	Doğal frekans
$A_n$	Kompleks genlik
$\bar{A}_n$	Kompleks genliğin eşleniği
$k.e.$	Kompleks eşlenik
$i$	Kompleks sayı
$y_i$	İlgili perturbasyon mertebesindeki çözüm fonksiyonu
$\hat{\phantom{x}}$	Boyutlu ifadeler için gösterge



## ŞEKİLLER DİZİNİ

	<b>Sayfa</b>
Şekil 1.1. $n = -1$ için Dirac delta fonksiyonu.....	6
Şekil 1.2. $n = 0$ için adım fonksiyonu .....	7
Şekil 1.3. $n = 1$ için birim rampa fonksiyonu .....	7
Şekil 1.4. Eğri altındaki alanın yamuk kuralı ile yaklaşık hesabı .....	11
Şekil 1.5. Yamuk kuralının $n$ dilime uygulanması .....	13
Şekil 1.6. Simpson 1/3 kuralının uygulanması .....	14
Şekil 3.1. İki açıklıklı tek yaylı elastik kiriş .....	43



## TABLO DİZİNİ

	<b>Sayfa</b>
Tablo 1.1. Süreksizlik Fonksiyonlarının Tablosu .....	6
Tablo 3.1.1. $N = 200$ ve $f(x) = 5$ için klasik çözüm (3.1.1) ve mevcut yöntem (kalın) ile kritik aksenal yük değerlerinin ( $\alpha_{1n}$ ) ve frekansların karşılaştırılması... 39	39
Tablo 3.1.2. $N = 200$ ve $f(x) = x$ için klasik çözüm (3.1.1) ve mevcut yöntem (kalın) ile kritik aksenal yük değerlerinin ( $\alpha_{1n}$ ) ve frekansların karşılaştırılması... 40	40
Tablo 3.2.1. $N = 200$ için klasik çözümden elde edilen aksenal yük değerlerinin mevcut yöntemle (kalın) karşılaştırılması .....	43
Tablo 3.2.2. $N = 200$ ve $P_0 = 10$ için klasik çözümden elde edilen doğal frekansların mevcut yöntemle (kalın) karşılaştırılması .....	44
Tablo 3.2.3. $P_0 = 10$ , $P_1 = 1$ ve $N = 200$ için klasik çözümden elde edilen $\alpha_{2n}$ katsayısının mevcut yöntemle (kalın) karşılaştırılması .....	44
Tablo 3.3.1 Tek kütle için, farklı kütle oranı ve konumu için ilk üç doğal frekansın klasik çözüm [35] ve mevcut yöntemle (kalın) karşılaştırılması ( $N = 100$ ) .....	47
Tablo 3.3.2. İki kütle için, farklı kütle oranı ve konumuna karşılık gelen doğal frekansların klasik çözüm ve mevcut yöntemle (kalın) karşılaştırılması ( $N = 100$ ) .....	48
Tablo 3.3.3. Üç kütle için, farklı kütle oranı ve konumuna karşılık gelen doğal frekansların klasik çözüm ve mevcut yöntemle (kalın) karşılaştırılması ( $N = 100$ ) .....	48

## TEŐEKKÜR

Lisans ve yüksek lisans öğrenim hayatıma adım attığım ilk günden beri benimle ilgilenip yol gösteren, her zaman destek ve katkıda bulunan danışman hocam Doç. Dr. Duygu DÖNMEZ DEMİR'e, engin bilgileri ve tecrübesi ile beni aydınlatan, bu yolda bilgi dağarcığımı genişleten başarıya ulaşmam için sürekli teşvikte bulunan maddi-manevi kazanımlar sağlayan ve tüm zorlu aşamalarda yanımda olup, desteğini esirgemeyen diğer danışman hocam Doç. Dr. B. Gültekin SINIR'a, öğrenim hayatım boyunca beni maddi ve manevi olarak destekleyen aileme, eşime ve üzerimde emeği olan bütün öğretmenlerime, dostlarıma ve yakınlarıma yürekten teşekkür ederim.

Emine KAHRAMAN  
Manisa, 2018



## ÖZET

**Yüksek Lisans**

### **Pertürbasyon-Sonlu Farklar Metodunun Titreşim Problemlerine Uygulaması**

**Emine KAHRAMAN**

**Manisa Celal Bayar Üniversitesi  
Fen Bilimleri Enstitüsü  
Matematik Anabilim Dalı**

**Danışman: Doç. Dr. Duygu DÖNMEZ DEMİR  
II. Danışman: Doç. Dr. B. Gültekin SINIR**

Bu tez çalışması dört bölümden oluşmaktadır.

Birinci bölümde, süreksizlik fonksiyonları, çözülebilirlik şartı, self-adjointlik şartı gibi bazı temel kavramlara yer verilmiştir. Ayrıca sonlu farklar yöntemi ve pertürbasyon metodu kullanılmıştır.

İkinci bölümde, genel model çözüm prosedürü farklı bir teknik ile sunulmuştur. Ayrıca her bir durum ayrı ayrı incelenmiştir.

Üçüncü bölümde, genel modelin bir uygulaması olarak Winkler tipi elastik temel üzerindeki kirişin enine titreşimleri, parametrik aksenal kuvvete maruz düşey olarak yerleştirilmiş çoklu yay mesnetli kirişler ve kütle-kiriş sistemi verilmiştir. Malzemeden ve geometriden bağımsız sonuçlar elde etmek için denklemler boyutsuz hale getirilmiştir.

Son bölümde ise sonuçlar ve önerilere yer verilmiştir.

**Anahtar Kelimeler: Süreksizlik Fonksiyonları, Sonlu Farklar Yöntemi, Çok Zaman Ölçekli Metot, Genel Model**

**2018, 67 Sayfa**

## **ABSTRACT**

**M.Sc. Thesis**

### **The Application to the vibration problems of Perturbation - Finite Differences Method**

**Emine KAHRAMAN**

**Manisa Celal Bayar University  
The Institute of Natural and Applied Sciences  
Department of Mathematics**

**Assoc. Prof. Dr. Duygu DÖNMEZ DEMİR  
Assoc. Prof. Dr. B. Gültekin SINIR**

This thesis consists of four chapters. In the first chapter, some basic concepts, such as discontinuous functions, solvability condition, self-adjoint condition are given. Besides, finite differences technique and method of multiple time-scales are introduced.

In the second chapter, the procedure of general solution is presented by a different solution technique. Furthermore, each case is examined separately.

In the third chapter, transverse vibrations of beam lying on Winkler type-foundation, the beams with multiple span under vertically spring-support subjected to parametric axial force and the beam-mass system are given as an application of the general model. The equation is become non-dimensional to obtain independent results from material and geometry.

In the last chapter, conclusion and suggestions are introduced.

**Keywords: Discontinuous Functions, Finite Difference method, Multi time-scale method, General model.**

**2018, 67 Pages**

## 1. GİRİŞ

Fen bilimleri, mühendislik ve temel bilimler gibi alanlarda karşılaşılan problemler bir matematiksel model kurularak ele alınır. Böylece, elde edilen model sayesinde sistemin davranışına ilişkin çözüm bulunur. Bu model ortaya konulurken oluşturulan çözüm algoritmasının geçerli olması için, model yapısının sistemi tanımlama ve analiz etmeye uygun olması gerekir [1].

Bir yapı, kolon, kiriş, döşeme gibi farklı yapı elemanlarından oluşmaktadır. Yapılardaki çeşitli durumlara bağlı olarak yapı elemanlarında bazı süreksizliklerle karşılaşılabilir. Örneğin bir kirişte oluşan çatlak, kiriş boyunca belli aralıklarla yerleştirilmiş mesnetler, kiriş üzerinde bulunan tekil kuvvetler veya aralıklı olarak yerleştirilmiş konsantrasyon kütleler gibi durumlar yapı elemanlarında süreksizliklere neden olur. Süreksizlik içeren yapı elemanlarının statik veya dinamik davranışlarının analizinde süreksizlik durumu bazı sorunlar yaratmaktadır [2].

Literatürde yapı elemanlarının dinamik analizinde kullanılan üç farklı çözüm yöntemi vardır. Bunlar analitik yöntemler, yarı analitik yöntemler ve nümerik yöntemlerdir. Analitik veya yarı analitik yöntemlerle, ilgili yapı elemanının davranışını analizi etmek istersek süreksizliğe sebep olan noktalar arasında kalan her açıklık için ayrı ayrı denklemler yazılmalıdır. Çözüm için sınır koşulları haricinde süreksizliğin görüldüğü her nokta için uygunluk koşulları da yazılmalıdır [3-6]. Az sayıdaki süreksizlik noktası için analitik veya yarı analitik çözüm yapılabilirken süreksizlik nokta sayısı arttıkça yazılan denklem sayısı ve uygunluk koşulları sayısı artacağından ve bu durumun bilgisayar programını yazmak zorlaşacağından çözüm yapmak giderek daha da karmaşık bir hal alır. Belirli bir süreksizlik sayısından sonra ise çözüm imkânsız hale gelebilir. Bundan dolayı, bu tip problemlerin çözümünde nümerik yöntemlere ihtiyaç duyulmaktadır. Sonlu elemanlar ve sonlu farklar gibi sayısal yöntemler gerçeğe çok yakın sonuçlar verdiği görülür [7]. Lanker ve ark. [8] düzgün olmayan bölgeler üzerinde tanımlanan problemleri sonlu farklar metodunu kullanarak, Laplace denklemi ve kararlı olmayan hal için ısı iletim denkleminin çözümlerini bulmuşlardır. Hassanien ve ark. [9] sonlu farklar metodunu kullanarak bir boyutlu Burgers denklemini çözmüştür. Yılmaz [10] dairesel plağı temsil edecek yeni bir şeklin çözümünde sonlu farklar yöntemini uygulamıştır. Deplasman ve

moment deęerleri bu metot ile elde edilmiř, bu deęerler gerek özümle kıyaslanmıřtır. Günay [11] kısmi diferansiyel denklemlerle modellenen temel model denklemlerin özümünde sonlu farklar metodunu kullanarak akıřkan maddelerin hareketlerini analiz edip, literatürde yer alan analitik özüm ve dięer alıřmaların sonuçlarını karřılařtırmıřtır.

Bir yapının dinamik davranıřını analiz etmek için kullanılan en önemli yöntemlerden biri de yarı analitik bir yöntem olan pertürbasyon metodudur. Bu metot ile lineer ve lineer olmayan modellerin analizleri kolaylıkla yapılabilir. Yapılan bu analizlerin sonucunda birforkasyon noktaları ve stabilite řartları bulunup, zorlama tepki grafięi izilebilir. Pertürbasyon yöntemleri arasında ok zaman ölekli metot uygulaması en kolay ve en güçlü olandır [12-16].

Sürekli ortam titreřim problemleri ok farklı matematik modellere sahiptirler. Bunları ayrı ayrı özmek yerine farklı problemleri kapsayan genel bir modeli ele alarak onun özümünü yapmak oldukça pratik bir yöntemdir. Herhangi bir konuda, her durum için farklı matematiksel modeller oluřturup, her biri için ayrı ayrı özüm elde etmek yerine, o konuya ait birok problemi kapsayan genel bir model oluřturup, bu modelin genel özüm algoritmasını oluřturmak uygulama aısından büyük kolaylık saęlamaktadır. Literatürde, genel özüm algoritmasının oluřturulması ile ilgili birok örnek vardır [1]. İlk olarak genel bir model pertürbasyon metodu ile Pakdemirli tarafından özölmüřtür [17]. Bu řekilde düzlem ii serbest ve sönümlü titreřimler, kuadratik ve kübik lineer olmayan keyfi operatörlerle genel olarak ifade edilen ve sonlu mod analizi yapılan bařlangı modeli oluřturulmuřtur. Pakdemirli ve ark. [18] tarafından sonsuz modda genelleřtirilmiř ve baskın rezonans durumu arařtırılmıřtır. Boyacı ve ark. [19] tarafından yalnızca kübik nonlinearlięe sahip bir bařka model incelenmiřtir. Boyacı [20] pertürbasyon metodunu, genel modeli sürekli ortam titreřimleri için zorlama ve sönüm terimi ieren lineer olmayan kısmi diferansiyel denklem ile ifade edilen modele uygulamıřtır. Öz [21], aksenal hareketli sürekli ortamların titreřimlerini incelemiř hareket denklemlerini yalnızca lineer denklemleri kullanarak elde etmiřtir. Jiang ve ark. [22] ise elektromanyetik dalgalar yayan bir bierdöver eneręisini aksenal yüklü kiriř ile modelleyip elde edilen matematiksel modele pertürbasyon metodu uygulayarak i ve baskın rezonans durumlarını incelemiřlerdir. Nayfeh ve ark. [23] sabit-sabit, sabit-ankastre ve

ankastre-ankastre sınır kořullarına sahip kiriřlerin burkulma sonrası yapılandırılmaları için nonlinear burkulma problemini çözmüş, uygulanan aksenal yük açısından burkulma sonrası konfigürasyonlara ait kapalı formda bir çözüml bulmuşlardır. Ayrıca lineer burkulma probleminin çözümlmesi sonucunda kritik burkulma yükleri ve bunların mod şekilleri elde edilerek bunların burkulma sonrası konfigürasyonlarının dinamik stabilitesi de incelenmiştir.





## 2. TEZİN AMACI

Burada kiriş, tel ve demir çubuk gibi bazı yapı elemanlarına karşılık gelen genel model ortaya konulmuştur. Literatürde genellikle sürekli modeller dolayısıyla bunlara karşılık gelen sabit katsayılı genel modeller mevcuttur. Buna karşı, bu çalışmada literatürden farklı olarak süreksiz modellere karşılık gelen değişken katsayılı bir genel model göz önüne alınmıştır. Yine alışılmışın dışında çözüm tekniği olarak klasik çözüm yerine, yani süreksiz modelde her bir açıklık için bir denklem yazıp bir sistemi çözmek yerine, tüm açıklıkları bir süreksizlik fonksiyonuyla modelleyerek tek bir denklem analiz edilmiştir. Böylece değişken katsayılı genel modelin çözülebilmesi için farklı bir çözüm prosedürü geliştirilmiştir. Bu teknik herhangi bir süreksizlik içeren yapı elemanı modelinin, pertürbasyon metodu ile dinamik analizinde avantaj sağlamaktadır. Öncelikle genel modele pertürbasyon yöntemlerinden biri olan çok zaman ölçekli metot uygulanmıştır. Bu metot ile sınır şartlarından bağımsız çözüm yapılarak, yöntem direk olarak kısmi diferansiyel denkleme uygulanmıştır. Elde edilen değişken katsayılı diferansiyel denklemin çözümünü analitik olarak elde etmek zor olacağından sayısal yöntemlere ihtiyaç duyulmakta olup, bu amaçla burada sonlu farklar yöntemi kullanılmıştır. Daha yüksek mertebeden denklemlerin çözümünde karşılaşılan integrallerin hesaplanmasında, nümerik integrasyon yöntemlerinden biri olan Simpson metodu ele alınmış, sayısal hesaplamalar için ise Maple paket programı tercih edilmiştir.

# I. BÖLÜM

## TEMEL KAVRAMLAR

### 1.1. Lineer ve Lineer Olmayan Operatörler

$X$  ve  $Y$  iki fonksiyon uzayı olsun.  $X$ 'den alınan herhangi bir  $f$  fonksiyonuna  $Y$  üzerinde bir ve yalnız bir  $g$  fonksiyonu karşılık getiren bir  $L$  kuralına  $X$  uzayından  $Y$  uzayına bir “operatör” adı verilir ve  $L$  operatörünün  $x$  noktasındaki değeri  $L(f;x) = g(x)$  şeklinde gösterilir.

Burada  $L(f;x) = L(f(t);x)$  olmak üzere,  $L$  operatörü  $f$  fonksiyonunun bağlı olduğu  $t$  değişkenine göre uygulanmaktadır. Sonuç ise  $x$  değişkenine bağlı bir fonksiyondur.

$X$  ve  $Y$  bir lineer uzay ve  $L: X \rightarrow Y$  bir operatör olsun. Eğer  $\forall f, g \in X$  ve  $\forall \alpha, \beta \in \mathbb{R}$  için

$$L(\alpha f + \beta g; x) = \alpha L(f; x) + \beta L(g; x) \quad (1.1)$$

koşulu sağlanıyorsa, bu takdirde  $L$  operatörüne “lineer operatör” denir [24,25].

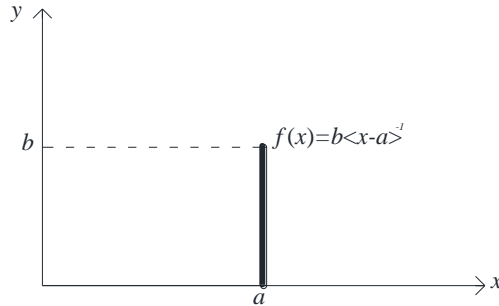
### 1.2. Süreksizlik Fonksiyonları

Süreksizlik fonksiyonları, matematiksel fonksiyonlarda farklı tip süreksizlikleri belirtir. Süreksizlik fonksiyonları çeşitli alanlarda farklı isimler ve simgeler altında ortaya çıkabilir. Bu fonksiyonlar,  $a$  bir süreksizlik ihtiva etmek üzere  $x$  eksenini boyunca konumunu temsil edecek şekilde,  $\langle x-a \rangle^n$  olarak göz önüne alınır.  $n$  üs indisi  $\langle x-a \rangle^n$ 'in süreksizlik tipini karakterize eden bir tam sayıdır. Süreksizlik fonksiyonları, singüler veya singüler olmayan fonksiyonlar olmak üzere ikiye ayrılır. Singüler olmayan süreksizlik fonksiyonu aynı zamanda negatif olmayan  $n$  ( $n \geq 0$ ) için adi fonksiyon olarak adlandırılır. Eğer,  $n$  bir negatif tam sayı ise,  $\langle x-a \rangle^n$  alışılmış bir fonksiyon değildir. Bu takdirde,  $x=a$  da güçlü singüler davranış gösteren bir süreksizlik fonksiyonu singülerite fonksiyonu olarak tanımlanır.  $n=-1$  durumu literatürde iyi bilinen Dirac delta fonksiyonuna ( $\delta$ ) karşılık gelir [26]. Bu fonksiyonlar negatif olmayan kuvvetler için farklı isimler alır. Bazı süreksizlik fonksiyonları aşağıdaki tabloda verilmektedir.

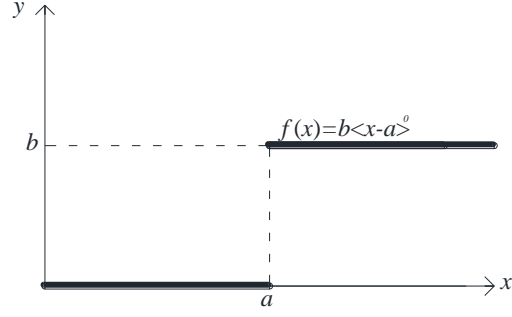
**Tablo 1.1:** Süreksizlik Fonksiyonlarının Tablosu [26]

İsim	Sembol	Tanım
(Dirac) Delta fonksiyonu	$\langle x-a \rangle^{-1}$	Delta fonksiyonunun antitürevi adım fonksiyonu
Adım fonksiyonu	$\langle x-a \rangle^0$	$x > a$ ise 1, aksi halde 0
Rampa fonksiyonu	$\langle x-a \rangle^1$	$x > a$ ise $x-a$ , aksi halde 0
Parabolik rampa fonksiyonu	$\langle x-a \rangle^2$	$x > a$ ise $(x-a)^2$ , aksi halde 0
...	...	...
$n$ . Mertebeden Rampa fonksiyonu	$\langle x-a \rangle^n$	$x > a$ ise $(x-a)^n$ , aksi halde 0 ( $n \geq 0$ )
$n \geq 0$ ve $x_0 \leq a$ ise $n=0,1,2,\dots$ için kullanışlı bir $\int_{x_0}^x \langle x-a \rangle^n dx = \frac{\langle x-a \rangle^{n+1}}{n+1}$ integral formülü geçerlidir. $x$ 'in başlangıcı sol uçta olmak üzere, giriş problemleri için, $x_0$ normal olarak sıfırdır. $n=-1$ ise, integral adım fonksiyonudur. Eğer $n=-2$ ise, integral delta fonksiyonudur.		

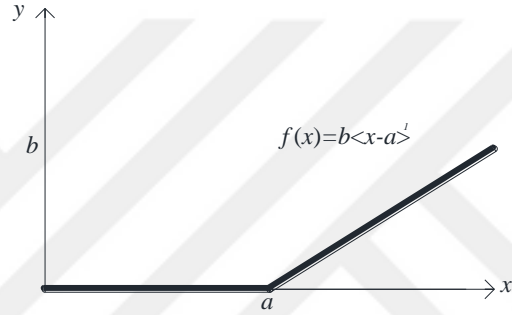
Farklı yükleme veya zemin durumları için ortaya çıkan süreksizlik fonksiyonları grafiklerle gösterilmiştir. Negatif ve negatif olmayan kuvvetler için ortaya çıkan süreksizlik fonksiyonları şekil 1.1, şekil 1.2 ve şekil 1.3'de gösterilmiştir [26].



**Şekil 1.1.**  $n = -1$  için Dirac delta fonksiyonu.



**Şekil 1.2.**  $n = 0$  için adım fonksiyonu.



**Şekil 1.3.**  $n = 1$  için birim rampa fonksiyonu.

### 1.3. Bazı Özel Süreksizlik Fonksiyonları

#### 1.3.1. Heaviside Adım Fonksiyonu

$$H(x) = \begin{cases} 0 & x < 0 \\ 1 & x \geq 0 \end{cases} \quad (1.2)$$

ile tanımlı süreksiz fonksiyona Heaviside Adım fonksiyonu denir.

Heaviside adım fonksiyonun  $x = 0$  daki türevi klasik anlamda tanımsız olup, literatürde, bu türev Dirac delta fonksiyonu olarak tanımlanır ve  $\delta(x)$  ile gösterilir.

Yani  $H'(x) = \delta(x)$  şeklindedir.

#### 1.3.2. Dirac Delta Fonksiyonu

Dirac delta fonksiyonu, sıfır hariç her yerde değeri sıfır olan genelleştirilmiş bir fonksiyondur ve

$$\delta(x) = \begin{cases} 0 & x \neq 0 \\ \infty & x = 0 \end{cases} \quad \text{ve} \quad \int_{-\infty}^{\infty} \delta(x) dx = 1 \quad (1.3)$$

biçiminde tanımlanır [27].

#### 1.4. Çözülebilirlik Şartı

Çok zaman ölçekli metot gibi pertürbasyon tekniklerinin uygulamasında, ardarda çözüm gerektiren problemler elde edilir. Genellikle birinci mertebeden problem homojen olup, yüksek mertebeden problemler homojen değildir ve lineerdir. Yavaş zaman ölçeğine bağımlılığı tanımlamak için önce yüksek mertebeden problemler incelenir ve açılmış formunu oluşturan şartlar uygulamaya koyulur. Lineer olmayan basit titreşim problemlerinin çözümü için, sistem bizi küçük bölen terim ve seküler terimlerin yok edilmesine yönlendirir. Sadece birinci dereceden bağımsız denklem için küçük bölenler ve seküler terimin yok edilmesi için gerekli durumları belirlemek kolaydır. Her zaman sıfıra eşit olan seküler terimleri üreten terimlerin katsayılarının her bir kümesi elde edilmelidir. Fakat ana denklemleri eşleşmiş olan yüksek dereceli bazı sistemler için çok az olan seküler terimlere yol açan terimleri yok etmek daha gereklidir.

Çözülebilirlik durumları çeşitli sınır koşullarına sahip dördüncü mertebeden homojen olmayan denklemler için de türetilebilir [28].

#### 1.5. Self-Adjointlik Şartı

**Tanım:**  $a_k(x)$  ( $k = 0, 1, \dots, n$ ), fonksiyonları yeter derecede türevlenebilir fonksiyonlar olmak üzere,

$$L = \sum_{k=0}^n a_{n-k}(x) \frac{d^k}{dx^k} = a_0(x) \frac{d^n}{dx^n} + a_1(x) \frac{d^{n-1}}{dx^{n-1}} + \dots + a_{n-1}(x) \frac{d}{dx} + a_n(x) \quad (1.4)$$

lineer diferansiyel operatörünün formal adjointi (biçimsel eşleniği)  $L^*$ , uygun bir  $\varphi$  fonksiyonu ile,

$$L^* \varphi = \sum_{k=0}^n (-1)^k \frac{d^k}{dx^k} [a_{n-k}(x) \varphi(x)] \quad (1.5)$$

biçiminde tanımlanır.

Eğer  $L$  bir  $H$  Hilbert uzayının tümü üzerinde tanımlı ise, bu takdirde

$$\langle Lu, v \rangle = \langle u, L^*v \rangle, \quad \forall u, v \in H \quad (1.6)$$

bağlantısı sağlanır. Bu genel bir lineer operatör olan  $A$  için de geçerlidir. Buna göre,

$$\langle Af, g \rangle = \langle f, A^*g \rangle, \quad \forall f, g \in H \quad (1.7)$$

biçiminde tanımlanan  $A^*$  adjoint operatörünün lineer olduğu gösterilebilir. Genelde  $A$  ve  $A^*$  operatörlerinin tanım kümesi farklıdır.

**Tanım:** Bir  $H$  Hilbert uzayı üzerinde tanımlı  $A$  operatörü  $A = A^*$  şartını sağlıyorsa,  $A$  operatörünün biçimsel self-adjoint (formal self-adjoint) olduğu söylenir. Buna ek olarak  $A$  ile  $A^*$  operatörlerinin tanım kümeleri de aynı ise, bu takdirde  $A$ 'nın self-adjoint (kendine eşlenik) olduğu söylenir [29].

$X_n(x)$  ve  $u(x)$ ,  $[0,1]$  aralığında dördüncü mertebeden sürekli türevlere sahip iki fonksiyon olsun. Genel olarak  $L_i$  operatörünün  $L_i^*$  adjointi (ya da hermityen eşleniği)

$$\langle L_i[X_n], u \rangle = \langle u, L_i^*[X_n] \rangle \quad (1.13)$$

ile tanımlanır. Şimdi iç çarpım

$$\langle X_n, u \rangle = \int_0^1 X_n(x)u(x)dx \quad (1.14)$$

olacak şekilde,  $L_i$  operatörü için çözülebilirlik koşulu dikkate alınır [28].  $[0,1]$  aralığında sürekli dördüncü mertebeden türevlere sahip

$$\begin{aligned} L_i[X_n] = & p_4(x)X_n^{iv}(x) + p_3(x)X_n'''(x) + p_2(x)X_n''(x) \\ & + p_1(x)X_n'(x) + p_0(x)X_n(x) \end{aligned} \quad (1.15)$$

operatörünü göz önüne alalım. Buna göre adjoint problemini belirlemek için, (1.13) denkleminin sol tarafı

$$\begin{aligned} \langle L_i[X_n], u \rangle = & \int_0^1 L_i(X_n)u(x)dx \\ = & \int_0^1 [p_4uX_n^{iv} + p_3uX_n''' + p_2uX_n'' + p_1uX_n' + p_0uX_n]dx \end{aligned} \quad (1.16)$$

biçiminde göz önüne alınır.

Türevler  $X_n$ 'den  $u$ 'ya aktarılarak (1.16) denkleminde kısmi integrasyon uygulanır ve Green özdeşliğinden elde edilen sonuç denklem yeniden düzenlenirse,

$$\begin{aligned}
\int_0^1 [L_i(X_n)u - X_n L_i^*(u)] dx = & \{ p_4 u X_n''' - [p_4 u' + (p_4' - p_3)u] X_n'' \\
& + [p_4 u'' + (2p_4' - p_3)u' + (p_4'' - p_3' + p_2)u] X_n' \\
& - [p_4 u''' + (3p_4' - p_3)u'' + (3p_4'' - 2p_3' + p_2)u' \\
& + (p_4''' - p_3'' + p_2' - p_1)u] X_n \}_a^b
\end{aligned} \quad (1.17)$$

bulunur. Burada  $L_i$  operatörüne karşılık gelen  $L_i^*$  adjoint operatörü

$$L_i^*[u] = (p_4 u)'''' - (p_3 u)''' + (p_2 u)'' - (p_1 u)' + p_0 u \quad (1.18)$$

biçimindedir.  $L_i$  ve  $L_i^*$  operatörlerinin birbirinin adjointi olduğu kolayca görülebilir.

Şimdi  $L_i[X_n] = 0$  diferansiyel denkleminin adjointi olan  $L_i^*[u] = 0$  diferansiyel denklemini göz önüne alalım.

Eğer  $L_i = L_i^*$  ise,  $L_i$  operatörü self adjointtir. Buna göre, (1.15) ve (1.18) denklemleri karşılaştırıldığında ancak

$$p_3 = 2p_4' \text{ ve } p_1 = p_2' - p_4''' \quad (1.19)$$

eşitlikleri sağlanırsa,  $L_i$ 'nin self adjoint olacağı sonucuna varılır [28].

## 1.6. Nümerik İntegrasyon

Mühendislikte sık karşılaşılan matematiksel işlemlerden biri de integral işlemidir. Bilindiği gibi integral bir büyüklüğün toplam değerinin bulunması işlemidir. Dolayısıyla bir fonksiyonun belli sınırlar arasında integrali, fonksiyon eğrisinin altında ve sınır değerler arasında kalan toplam alanı vermektedir. Bu bakımdan integrasyon işlemi mühendislikte düzenli ve düzensiz şekillerin alanlarının veya hacimlerinin hesaplanmasında, ortalama değerlerin bulunmasında, alan ve eylemsizlik momentlerinin elde edilmesinde, toplam kütlelerin bulunmasında, hız ve alınan yolların hesaplanmasında, transfer edilen toplam ısı miktarının hesabında vb. yaygın olarak kullanılır.

Her fonksiyonun integrali analitik olarak alınamayacağı gibi bazı durumlarda da fonksiyonun analitik ifadesi yerine belli bir aralıkta fonksiyonun aldığı sayısal değerler tablo halinde verilebilir. Her durumda, analitik veya tablo halinde verilen bir fonksiyonun integralini sayısal yöntemler kullanarak hesaplamak mümkündür. Sayısal integrasyon yöntemleri, eğri altındaki alanı dilimlere bölme ya da fonksiyon

yerine verilen aralıktaki noktalardan geçen interpolasyon polinomlarını kullanma esasına dayanır [30].

### 1.6.1. Yamuk (Trapez) Kuralı

İnterpolasyon polinomu olarak, Gregory-Newton interpolasyon polinomu göz önüne alınır ve bu formülde  $n = 1$  alınırsa lineer interpolasyon formülü

$$y_p = y_0 + s \cdot \Delta y_0 \quad (1.20)$$

olarak ifade edilir. Burada

$$s = \frac{x - x_0}{h} \Rightarrow ds = \frac{1}{h} dx \quad (1.21)$$

diferansiyeli kullanılırsa, fonksiyonun belirli integrali, integral sınırları da göz önünde bulundurularak,

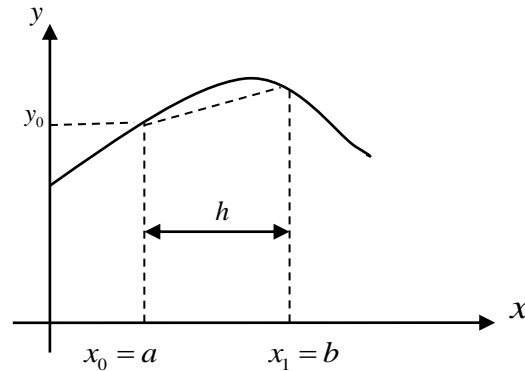
$$A = \int_{x_0}^{x_1} f(x) dx \cong \int_{x_0}^{x_1} y_p(x) dx = \int_{s=0}^{s=1} y_p h ds = \int_0^1 (y_0 + s \Delta y_0) h ds \quad (1.22)$$

biçiminde yazılır. Bu integral alındığında,

$$A \cong h \left[ y_0 s + \Delta y_0 \frac{s^2}{2} \right]_0^1 \quad (1.23)$$

$$A \cong h \left( y_0 + \frac{\Delta y_0}{2} \right) = h \left( y_0 + \frac{y_1 - y_0}{2} \right)$$

bulunur.



**Şekil 1.4.** Eğri altındaki alanın yamuk kuralı ile yaklaşık hesabı

Şekil 1.4.'de görüldüğü gibi, eğri altında kalan alan yamuğun alanı olup, yaklaşık olarak elde edilen



$$A \cong \frac{h}{2}(y_0 + y_1) \quad (1.24)$$

formülü, yamuk veya trapez kuralı olarak adlandırılır. Buna göre Gregory–Newton interpolasyon polinomu kullanıldığında elde edilecek formülün hatası,

$$e_i \cong \int_a^b \binom{s}{n+1} h^{n+1} y^{(n+1)}(x_s) dx \quad (1.25)$$

olarak bulunur. Yamuk kuralının hatası ise,  $n = 1$  alınarak yazılırsa,

$$e_i = \int_{x_0}^{x_1} h^2 \frac{s(s-1)}{2} y^{(n+1)}(x_s) dx = \int_0^1 \frac{s(s-1)}{2} hh^2 y''(x_s) dx \quad (1.26)$$

bulunur. Burada  $y''(x_s)$  türevinin bu aralıkta işaret deęiřtirmedięi kabul edilirse, integraller için ortalama deęer teoreminden

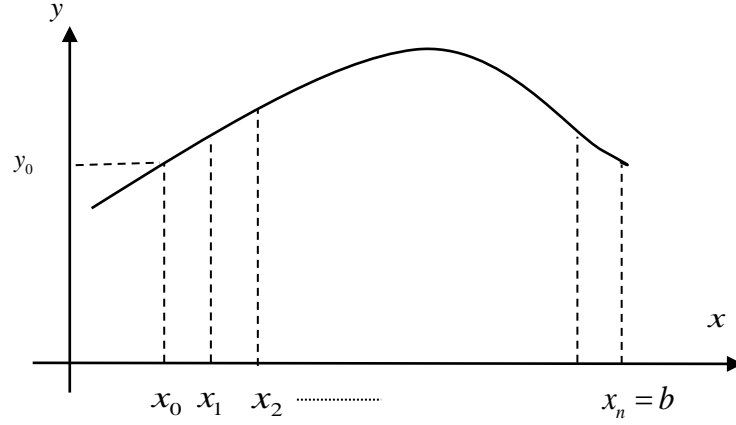
$$e_i = \frac{1}{2} hh^2 y''(x_s) \int_0^1 (s^2 - s) ds = \frac{1}{2} h^3 y''(x_s) \left[ \frac{s^3}{3} - \frac{s^2}{2} \right]_0^1 \quad (1.27)$$

$$e_i = -\frac{h^3}{12} y''(x_s), \quad x_0 \leq x_s \leq x_1 \quad (1.28)$$

elde edilir. Burada hatanın  $h^3$  ile orantılı olduęu gorlmektedir. Buna gore  $\Delta x = h$  dilim kalınlıęının kk olması, hatanın kbik olarak azalacaęı anlamına gelir. Ayrıca fonksiyonun lineer olması halinde, ikinci trevi sıfır olacaęından hata sıfır olacak yani tam sonu bulunmuř olacaktır. Bazı durumlarda birden fazla dilim verilebilir veya integral aralıęı geniř ise hatayı azaltmak zere verilen aralık birden fazla dilime blnebilir.  $[a, b]$  aralıęı  $n$  tane eřit kalınlıklı dilime blnmř ise

$$h = \frac{b-a}{n} \quad (1.29)$$

olacaktır (řekil 1.5).



**Şekil 1.5** Yamuk kuralının  $n$  dilime uygulanması

Bu takdirde her dilime yamuk kuralı uygulanırsa

$$A = \int_{x_0}^{x_n} f(x)dx \cong \frac{h}{2}(y_0 + y_1) + \frac{h}{2}(y_1 + y_2) + \dots + \frac{h}{2}(y_{n-1} + y_n) \quad (1.30a)$$

$$A \cong \frac{h}{2}(y_0 + 2y_1 + 2y_2 + \dots + 2y_{n-1} + y_n) \quad (1.30b)$$

biçiminde genel bir formül yazılabilir. Elde edilen bu genel yamuk formülünün hatası her dilimde oluşan hataların toplamından elde edilebilir. Böylece toplam integrasyon hatası:

$$e_{it} = -\frac{h^3}{12}y''(x_{s1}) - \frac{h^3}{12}y''(x_{s2}) - \frac{h^3}{12}y''(x_{s3}) - \dots = -\frac{h^3}{12} \sum_{i=1}^n y''(x_{si}) \quad (1.31)$$

veya

$$e_{it} = -\frac{(b-a)^3}{12n^3} \sum_{i=1}^n y''(x_{si}) \quad (1.32)$$

biçimindedir. Ortalama türev tanımından bu hatayı daha basit olarak yazmak mümkündür. Buna göre

$$\bar{y}'' = \frac{1}{n} \sum_{i=1}^n y''(x_{si}) \quad (1.33)$$

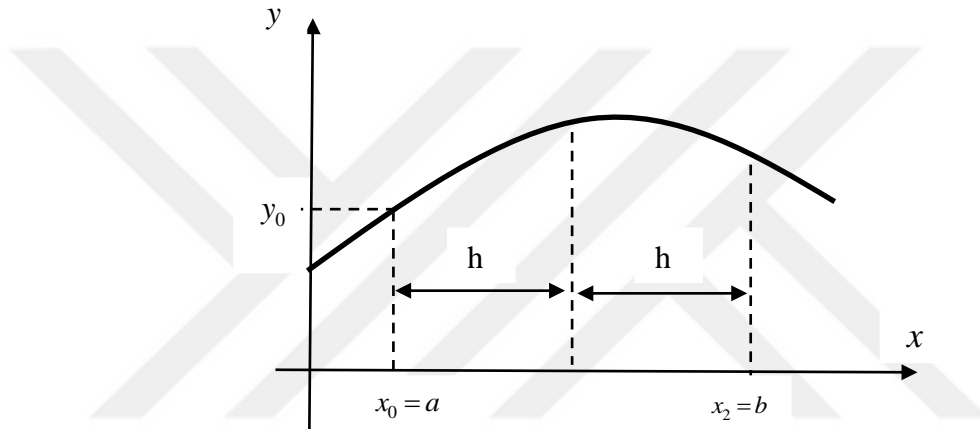
ile toplam hata

$$e_u \cong -\frac{(b-a)^3}{12n^2} \bar{y}'' = -\frac{h^2}{12}(b-a)\bar{y}'' \quad (1.34)$$

olarak bulunur. Görüldüğü gibi lokal hata mertebesi  $O(h^3)$  olmasına rağmen hataların birikmesi nedeniyle bu ifadedeki toplam hata bir mertebe azalarak  $O(h^2)$ 'ye indirgenmiştir [30].

### 1.6.2. Simpson 1/3 Kuralı

Gregory-Newton interpolasyon polinomunda  $n=2$  olarak farklı bir integrasyon formülü bulunabilir. Ancak bunun için üç nokta yani iki dilim gerektiğinden integral sınırları  $x_0$ 'dan  $x_2$ 'ye kadar olacaktır.



Şekil 1.6. Simpson 1/3 kuralının uygulanması

Bu takdirde,

$$A = \int_a^b f(x) dx = \int_{x_0}^{x_2} y_p(x) dx = \int_0^2 \left( y_0 + s \cdot \Delta y_0 + \frac{s(s-1)}{2} \Delta^2 y_0 \right) h ds \quad (1.35)$$

$$A = h \left[ 2y_0 + 2\Delta y_0 + \frac{1}{3} \Delta^2 y_0 \right] \cong \frac{h}{3} [y_0 + 4y_1 + y_2] \quad (1.36)$$

biçiminde Simpson 1/3 kuralı adı verilen integrasyon formülü elde edilir.

Hata mertebesini bulmak için  $n=2$  için (1.25) denklemi ile verilen hata teriminin integrali alınır, sonucun sıfır olduğu görülür. Bu ise hatanın sıfır olduğunu değil, atılan terimlerden ilkinin sıfır olduğu anlamına gelir. Bu durumda atılan terimlerden ikincisi, yani  $n=3$  hali alınarak hata terimi elde edilebilir. Buna göre,  $n=3$  için hata teriminin integrali

$$\begin{aligned}
e_i &= \int_{x_0}^{x_2} h^4 \frac{s(s-1)(s-2)(s-3)}{24} y^{(iv)}(x_s) dx \\
&= \frac{1}{24} h \cdot h^4 y^{(iv)}(x_s) \int_0^2 (s^4 - 6s^3 + 11s^2 - 6s) ds \\
e_i &= \frac{h^5}{90} y^{(iv)}(x_s) \quad (x_0 \leq x_s \leq x_2)
\end{aligned} \tag{1.37}$$

olarak bulunur. Burada hatanın  $h^5$  ile orantılı olduğu görülmektedir. İntegrali alınan fonksiyonun kübik bir polinom olması halinde hatanın sıfır olacağı yani tam sonuç elde edileceği de görülmektedir. Çünkü kübik polinomun dördüncü türevi sıfır olacaktır. İntegralin alınacağı  $[a, b]$  aralığı eşit kalınlıklı  $n$  adet dilime bölünmüş ise yani

$$h = \frac{b-a}{n} \tag{1.38}$$

ise, her çift dilime Simpson 1/3 kuralını uygulayarak genel bir ifade bulunabilir. Böylece,

$$\begin{aligned}
A &= \int_{x_0}^{x_n} f(x) dx = \int_{x_0}^{x_2} f(x) dx + \int_{x_2}^{x_4} f(x) dx + \dots + \int_{x_{n-2}}^{x_n} f(x) dx \\
&\cong \frac{h}{3} [y_0 + 4y_1 + y_2] + \frac{h}{3} [y_2 + 4y_3 + y_4] + \dots + \frac{h}{3} [y_{n-2} + 4y_{n-1} + y_n]
\end{aligned} \tag{1.39}$$

$$A \cong \frac{h}{3} [y_0 + 4(y_1 + y_3 + \dots + y_{n-1}) + 2(y_2 + y_4 + \dots + y_{n-2}) + y_n]$$

elde edilir. Burada kural her çift dilime uygulandığından, dilim sayısı olan  $n$  çift olmalıdır. Aksi halde bu yöntem doğrudan uygulanamaz.

Çok dilim sayısının olması halinde integralin toplam hatası, ayrı ayrı hataların toplamına eşittir. Yani toplam integrasyon hatası

$$\begin{aligned}
e_{it} &= -\frac{h^5}{90} y^{(iv)}(x_{s1}) - \frac{h^5}{90} y^{(iv)}(x_{s2}) - \frac{h^5}{90} y^{(iv)}(x_{s3}) - \dots \\
&= -\frac{h^5}{90} \sum_{i=1}^n y^{(iv)}(x_{si})
\end{aligned} \tag{1.40}$$

veya

$$e_{it} = -\frac{(b-a)^5}{90n^5} \sum_{i=1}^n y^{(iv)}(x_{si}) \tag{1.41}$$

biçimindedir. Ortalama türev tanımından bu hatayı daha basit ifade etmek mümkündür. İntegrasyon formülü her iki dilime bir kez uygulandığına göre ortalama türev

$$\bar{y}^{(iv)} = \frac{2}{n} \sum_{i=1}^n y^{(iv)}(x_{si}) \quad (1.42)$$

olup, toplam hata

$$e_{it} \cong -\frac{(b-a)^5}{180n^4} \bar{y}^{(iv)} = -\frac{h^4}{180n^4} (b-a) \bar{y}^{(iv)} \quad (1.43)$$

biçiminde elde edilir. Görüldüğü üzere lokal hata mertebesi  $O(h^5)$  iken, hataların birikmesi nedeniyle meydana gelen hata mertebesi  $O(h^4)$ 'e inmiştir [30].

### 1.7. Sonlu Farklar Yöntemi

Sonlu farklar yöntemi, bir problemin analitik çözümünde zorluklarla karşılaşıldığında kullanılan sayısal bir yöntemdir. Sonlu farklar yönteminde tanım kümesi noktalara bölünür. Bölünme noktalarında bilinmeyen fonksiyonlar tanımlanır ve denklemdeki türev açılımları ileri, geri ve merkezi farklar cinsinden üç farklı şekilde yazılabilir. Böylece cebirsel bir denklem sistemi elde edilir. Bulunan bu sistem çözülerek bilinmeyen fonksiyonun değerleri belli noktalarda elde edilir.

Bir  $y = f(x)$  eğrisinin  $n$  noktasındaki teğetin eğimi  $\left(\frac{dy}{dx}\right)_n \cong \left(\frac{\Delta y}{\Delta x}\right)_n$

olmak üzere,  $(\Delta y / \Delta x)_n$  değeri sırasıyla ileri, geri ve merkezi sonlu farklar cinsinden

$$\frac{y_{n+1} - y_n}{\Delta x} = \left(\frac{\Delta y}{\Delta x}\right)_n, \quad (1.44a)$$

$$\frac{y_n - y_{n-1}}{\Delta x} = \left(\frac{\Delta y}{\Delta x}\right)_n, \quad (1.44b)$$

$$\frac{y_{n+1} - y_{n-1}}{2\Delta x} = \left(\frac{\Delta y}{\Delta x}\right)_n \quad (1.44c)$$

olarak yazılabilir. Bu taktirde, daha küçük hataya sahip olan merkezi sonlu farklara ait formüllerden ikinci, üçüncü ve dördüncü türevler

$$\left(\frac{d^2 y}{dx^2}\right)_n = \frac{d}{dx} \left(\frac{dy}{dx}\right)_n \cong \frac{\Delta}{\Delta x} \left(\frac{\Delta y}{\Delta x}\right)_n \quad (1.45)$$

$$\frac{\Delta}{\Delta x} \left( \frac{\Delta y}{\Delta x} \right)_n = \frac{1}{\Delta x} \left[ \left( \frac{\Delta y}{\Delta x} \right)_{n+1} - \left( \frac{\Delta y}{\Delta x} \right)_{n-1} \right] \quad (1.46)$$

$$\left( \frac{\Delta^2 y}{\Delta x^2} \right)_n = \frac{1}{\Delta x} \left( \frac{y_{n+1} - y_n}{\Delta x} - \frac{y_n - y_{n-1}}{\Delta x} \right) = \frac{y_{n+1} - 2y_n + y_{n-1}}{\Delta x^2} \quad (1.47)$$

$$\frac{\Delta}{\Delta x} \left( \frac{\Delta^2 y}{\Delta x^2} \right)_n = \frac{1}{2\Delta x} \left[ \frac{y_{n+2} - 2y_{n+1} + y_n}{\Delta x^2} - \frac{y_n - 2y_{n-1} + y_{n-2}}{\Delta x^2} \right] \quad (1.48)$$

$$\left( \frac{\Delta^3 y}{\Delta x^3} \right)_n = \frac{y_{n+2} - 2y_{n+1} + 2y_{n-1} - y_{n-2}}{\Delta x^3} \quad (1.49)$$

$$\frac{\Delta^2}{\Delta x^2} \left( \frac{\Delta^2 y}{\Delta x^2} \right)_n = \frac{1}{\Delta x^2} \left[ \left( \frac{\Delta^2 y}{\Delta x^2} \right)_{n+1} - 2 \left( \frac{\Delta^2 y}{\Delta x^2} \right)_n + \left( \frac{\Delta^2 y}{\Delta x^2} \right)_{n-1} \right] \quad (1.50)$$

$$\left( \frac{\Delta^4 y}{\Delta x^4} \right)_n = \frac{y_{n+2} - 4y_{n+1} + 6y_n - 4y_{n-1} + y_{n-2}}{\Delta x^4} \quad (1.51)$$

biçiminde elde edilir [31-32].

### 1.8. Pertürbasyon Metodu

Fiziksel sistemlerin modellemelerinde farklı yapılarda problemlere rastlanır. Analiz için kullanılan sistemlerde lineer olmayan terimler, değişken katsayılar, lineer olmayan sınır şartları gibi özellikler bulunabilir. Fiziksel problemleri çözmek için sayısal ve analitik çözümler gibi farklı yöntemler kullanılabilir. Bazı durumlarda her iki yöntem de kullanılabilir. Yarı analitik çözüm yöntemlerinden biri olan pertürbasyon yöntemi birçok farklı yapıdaki modele çözüm üretir. Pertürbasyon teorisi tam olarak çözülemeyen bir problemin, bu probleme bağlı başka bir problemden yola çıkarak yaklaşık çözüm elde etmek için kullanılan matematiksel metotlar içeren yöntemdir. Kesin olarak çözülebilen problemin matematiksel tanımına çok küçük bir terim eklenerek eldeki problem formüle edilebiliyorsa, pertürbasyon teorisi uygulanabilir. Pertürbasyon metodu, aranan çözümün kesin çözümlü problemden sapmanın miktarını belirleyen küçük parametre kullanılarak asimptotik seri olarak ifade edilmesini sağlar. Pertürbasyon teorisi çok kullanılan etkili bir yöntem olup, nümerik analizde kullanılan metotlarla ilişkilidir.

Pertürbasyon metotları, orijinal problemin yeterince basitleştirilmesi ile başlar. Basitleştirilmiş problem koşulları çözüme ulaşmak için pertürbe edilir. Bu yöntemle, bazı problemlerin tam çözümü bulunabilse de lineer olmayan

problemlerde genellikle yaklaşık analitik çözümler bulunur. Bu ise özellikle fiziksel bir modelin sonuçlarını yorumlayabilmek için onun çözüm yapıları hakkında fikir verebilmesi avantajını sağlar. Sayısal çözümlerde, denklemlerin çözüm yapılarına hakim olunmaz bu da yanıltıcı yorum yapılmasına sebep olur. Ancak pertürbasyon metotları ile çözümün analitik yapısı öngörülerek, fiziksel terimlerin çözüme etkileri kolaylıkla yorumlanabilir [33].

Pertürbasyon tekniği asimptotik bir yöntemdir. Burada çözümler asimptotik açılımlarla gösterilir ve bu açılımlar iki üç terimli açılımlardır. Bu yöntemle denklemlerde var olan veya yapay olarak eklenen parametrelere veya koordinatlara göre asimptotik açılımlar önerilerek çözülmeye çalışılır. Çok zaman ölçekli metot gibi pertürbasyon metotları, ardarda çözülmesi gereken problemlerin çözümlerini bulmak için kullanılır. Genellikle birinci mertebeden problemler homojen, daha yüksek mertebeden problemler ise lineerdir ve homojen değildir. Daha yavaş zamana göre bağımlılığı belirlemek için, daha yüksek mertebeden problemler araştırılır ve düzgün açılımların yapıldığı şartlar uygulanır. Lineer olmayan basit titreşim problemleri için yukarıdaki işlem, seküler terimlerin eliminasyonunu sağlar. Sadece birinci dereceden serbest sistemler göz önünde bulundurulursa, seküler terimlerin eliminasyonu için şartları belirlemek oldukça kolaydır [28].

Daha önce de bahsedilen fiziksel sistemlere ait denklemlerin lineer ve lineer olmayan terimleri olabilir. Denklemin lineer ve lineer olmayan terimleri ayrı ayrı gruplandığında lineer olmayan terimler lineer terimlere göre küçük ise, böyle sistemlere zayıf lineer olmayan sistemler ya da yarı lineer sistemler denir. Çok küçük bir parametre olan  $\varepsilon$  kullanılarak uygulanan pertürbasyon yöntemleri, bu tarzdaki sistemlerin çözümünde kullanılabilecek yöntemlerdir [12].

## II. BÖLÜM

### 2.1. Genel Model

İç ve dış harmonik zorlamaya sahip

$$a(x) \ddot{y}(x,t) + L_1[y] + \varepsilon \{L_2[y] \cos \Omega_1 t + F(x) \cos \Omega_2 t + L_3[\dot{y}]\} = 0 \quad (2.1a)$$

$$B_{11}(y(x,t)) = B_{12}(y(x,t)) = 0 \text{ ve } B_{21}(y(x,t)) = B_{22}(y(x,t)) = 0 \quad (2.1b)$$

biçiminde tanımlı lineer genel model, bir boyutlu sürekli ortamların dinamiğine karşılık gelir. Burada göz önüne alınan kiriş Euler-Bernoulli kiriş modelidir. Modelde  $a(x)$  enine kesit ve kütle değişimini temsil eden fonksiyondur.  $x$  yapı elemanının yönünü gösteren konum değişkeni ve  $t$  zaman değişkeni olmak üzere,  $y(x,t)$  enine deplasmanı gösterir.  $L_1[y]$  rijit yapı elemanı ile ilgilidir.  $L_2[y] \cos \Omega_1 t$  parametrik zorlama terimi,  $F(x) \cos \Omega_2 t$  harmonik dış kuvvet ve  $L_3[\dot{y}]$  sistemin viscoelastik özelliğini temsil eden operatördür.  $F(x)$  dış kuvvetin genliğini,  $\Omega_1$  ve  $\Omega_2$  sırasıyla iç ve dış zorlama frekansını temsil etmektedir.  $\varepsilon$  boyutsuz çok küçük bir parametredir. Burada nokta türev zamana ( $t$ ) göre türevi ifade eder. Sınır şartlarındaki  $i, j$  alt indisleri  $B_{ij}$  için  $i$ . mesnetin  $j$ . koşulunu gösterir.  $a(x)$  ve  $L_1$  operatörü (çok mesnetli, çatlaklı veya basamaklı kiriş gibi) bir boyutlu yapıların süreksizliklerini tanımlamak için süreksiz fonksiyon ihtiva edebilir.  $L_1, L_2$  ve  $L_3$  değişken katsayılı lineer ve self-adjoint diferansiyel operatörlerdir. Yapısal eleman olarak kirişlerin matematiksel modeli dikkate alındığında, en yüksek mertebeden türev olarak dördüncü mertebeden türev ihtiva edeceğinden

$$L_i = P_4(x) \frac{d^4}{dx^4} + P_3(x) \frac{d^3}{dx^3} + P_2(x) \frac{d^2}{dx^2} + P_1(x) \frac{d}{dx} + P_0(x) \quad (2.2)$$

değişken katsayılı  $L_i (i=1,2,3)$  diferansiyel operatörünü göz önüne alalım. Böylelikle, bu lineer operatörler çubuk, tel ve kablo gibi bir boyutlu yapısal elemanlara da karşılık gelir. Örneğin, bir çubuk veya tel şeklindeki yapı elemanları için  $p_3$  ve  $p_4$  ortadan kalkar.



## 2.2. Çok Zaman Ölçekli Metodun Uygulaması

Burada direkt olarak (2.1a) denkleminde pertürbasyon tekniklerinden biri olan çok zaman ölçekli metod uygulanır.  $T_n$ ,  $\varepsilon^n t$  formundaki farklı zaman ölçekleri olmak üzere, pertürbasyon seri açılımı

$$y(x, T_0, T_1; \varepsilon) = y_0(x, T_0, T_1; \varepsilon) + \varepsilon y_1(x, T_0, T_1; \varepsilon) + \dots \quad (2.3)$$

biçiminde kabul edilir. Böylece yeni zaman ölçeğine göre zamana bağlı türevler,  $D_i = \partial / \partial T_i$  olmak üzere,

$$\frac{d}{dt} = D_0 + \varepsilon D_1 + \dots \quad (2.4a)$$

$$\frac{d^2}{dt^2} = D_0^2 + 2\varepsilon D_0 D_1 + \dots \quad (2.4b)$$

biçimindedir. (2.3-2.4b) denklemleri (2.1) genel model ve sınır şartlarında yerine yazılır, elde edilen denklem  $\varepsilon$  mertebesine göre ayrıştırılırsa,

$$O(1): a(x) D_0^2 y_0 + L_1[y_0] = 0 \quad (2.5)$$

$$B_{11}[y_0] = B_{12}[y_0] = 0 \quad (2.6a)$$

$$B_{21}[y_0] = B_{22}[y_0] = 0 \quad (2.6b)$$

$$O(\varepsilon): a(x) D_0^2 y_1 + L_1[y_1] = -L_3[D_0 y_0] - 2a(x) D_0 D_1 y_0 - L_2[y_0] \cos \Omega_1 T_0 - F(x) \cos \Omega_2 T_0 \quad (2.7)$$

$$B_{11}[y_1] = B_{12}[y_1] = 0 \quad (2.8a)$$

$$B_{21}[y_1] = B_{22}[y_1] = 0 \quad (2.8b)$$

denklemleri bulunur.  $A_n$  ve  $\bar{A}_n$  sırasıyla kompleks genliği ve onun eşleniğini ifade etmek üzere, birinci mertebedeki genel çözümü

$$y_0(x, T_0, T_1) = (A_n(T_1) e^{i\omega_n T_0} + \bar{A}_n(T_1) e^{-i\omega_n T_0}) X_n(x) \quad n = 1, 2, 3, \dots \quad (2.9)$$

biçiminde kabul edelim. Önerilen (2.9) çözümü (2.5) denklemini sağlamalıdır. Buna göre, (2.9) çözümü (2.5) denkleminde yerine yazılırsa

$$a(x) \omega_n^2 [-A_n(T_1) e^{i\omega_n T_0} - \bar{A}_n(T_1) e^{-i\omega_n T_0}] X_n(x) + [A_n(T_1) e^{i\omega_n T_0} + \bar{A}_n(T_1) e^{-i\omega_n T_0}] L_1[X_n(x)] = 0 \quad (2.10)$$

elde edilir. Gerekli düzenlemeler yapıldığında, sonuç denklem

$$L_1[X_n] - a(x) \omega_n^2 X_n = 0 \quad (2.11)$$

$$B_{11}[X_n] = B_{12}[X_n] = 0 \quad (2.12a)$$

$$B_{21}[X_n] = B_{22}[X_n] = 0 \quad (2.12b)$$

olarak bulunur. Elde edilen denklem bir öz değer-öz fonksiyon problemidir. Burada  $\omega_n$  doğal frekans olup, sistemin öz değerlerinde mod yapısını temsil eden  $X_n$  ise sistemin öz fonksiyonlarına karşılık gelir. Böylece (2.11) denkleminde  $\omega_n$  ve  $X_n$  hesaplanabilir.

(2.11) denklemi genel olarak,  $L[X_n] = 0$  ile ifade edilir. Bir boyutlu sürekli ortamların titreşimini incelemek için yaygın olarak Euler-Bernoulli kiriş modeli kullanıldığından  $L[X_n] = 0$  denklemi genel formda

$$L[X_n] = P_4(x)X_n^{iv}(x) + P_3(x)X_n'''(x) + P_2(x)X_n''(x) + P_1(x)X_n'(x) + P_0(x)X_n(x) \quad (2.13)$$

biçiminde göz önüne alınır. Burada  $L[X_n]$ ,  $X_n$ 'in  $x$  konum değişkenine bağlı türevlerini ihtiva eder.  $L$  operatörü lineer, homojen, self-adjoint ve pozitif tanımlı diferansiyel ya da integro-diferansiyel operatördür.

### 2.3. Sonlu Farklar Yönteminin Uygulaması

Değişken katsayılı adi diferansiyel denklemleri çözmek için seri çözümü ve merteye indirgeme gibi yöntemler kullanılabilir. Fakat bazı durumlarda bu yöntemler uygulandığında çeşitli sorunlarla karşılaşılabilir. Analitik çözümün zor olduğu veya mümkün olmadığı durumlarda nümerik yöntemler tercih edilir. Biz bu çalışmada, ele aldığımız probleme nümerik yöntemler içerisinde en etkili tekniklerden biri olan sonlu farklar yöntemini uygulayacağız. Buna göre  $\Delta x = 1/N$  olmak üzere ilk dört türev aşağıdaki gibi verilir:

$$X_j' \approx \frac{X_{j+1} - X_{j-1}}{2\Delta x} \quad (2.14a)$$

$$X_j'' \approx \frac{X_{j+1} - 2X_j + X_{j-1}}{\Delta x^2} \quad (2.14b)$$

$$X_j''' = \frac{X_{j+2} - 2X_{j+1} + 2X_{j-1} - X_{j-2}}{2\Delta x^3} \quad (2.14c)$$

$$X_j^{iv} = \frac{X_{j+2} - 4X_{j+1} + 6X_j - 4X_{j-1} + X_{j-2}}{\Delta x^4} \quad (2.14d)$$

Burada  $N$  alt aralık sayısıdır. Ayrıca alt indis, konuma göre düğüm noktasını gösterir.  $j$  inci düğüm noktasında (2.14) sonlu fark açılımları (2.13) denkleminde yerine yazılırsa,

$$\begin{aligned} P_4(x) \left( \frac{X_{j+2} - 4X_{j+1} + 6X_j - 4X_{j-1} + X_{j-2}}{\Delta x^4} \right) + P_3(x) \left( \frac{X_{j+2} - 2X_{j+1} + 2X_{j-1} - X_{j-2}}{2\Delta x^3} \right) \\ + P_2(x) \left( \frac{X_{j+1} - 2X_j + X_{j-1}}{\Delta x^2} \right) + P_1(x) \left( \frac{X_{j+1} - X_{j-1}}{2\Delta x} \right) + P_0(x) X_j(x) = 0 \end{aligned} \quad (2.15)$$

bulunur, elde edilen denklem yeniden düzenlenirse,

$$\begin{aligned} \left( \frac{P_4}{\Delta x^4} + \frac{P_3}{2\Delta x^3} \right) X_{n,j+2} + \left( -\frac{4P_4}{\Delta x^4} - \frac{P_3}{\Delta x^3} + \frac{P_2}{\Delta x^2} + \frac{P_1}{2\Delta x} \right) X_{n,j+1} + \left( \frac{6P_4}{\Delta x^4} - \frac{2P_2}{\Delta x^2} + P_0 \right) X_{n,j} \\ + \left( -\frac{4P_4}{\Delta x^4} + \frac{P_3}{\Delta x^3} + \frac{P_2}{\Delta x^2} - \frac{P_1}{2\Delta x} \right) X_{n,j-1} + \left( \frac{P_4}{\Delta x^4} - \frac{P_3}{2\Delta x^3} \right) X_{n,j-2} = 0 \end{aligned} \quad (2.16)$$

haline indirgenir. (2.16) denklemindeki katsayılar

$$b_{0,j} = \frac{P_{4,j}}{\Delta x^4} - \frac{P_{3,j}}{2\Delta x^3} \quad (2.17a)$$

$$b_{1,j} = -\frac{4P_{4,j}}{\Delta x^4} + \frac{P_{3,j}}{\Delta x^3} + \frac{P_{2,j}}{\Delta x^2} - \frac{P_{1,j}}{2\Delta x} \quad (2.17b)$$

$$b_{2,j} = \frac{6P_{4,j}}{\Delta x^4} - \frac{2P_{2,j}}{\Delta x^2} + P_{0,j} \quad (2.17c)$$

$$b_{3,j} = -\frac{4P_{4,j}}{\Delta x^4} - \frac{P_{3,j}}{\Delta x^3} + \frac{P_{2,j}}{\Delta x^2} + \frac{P_{1,j}}{2\Delta x} \quad (2.17d)$$

$$b_{4,j} = \frac{P_{4,j}}{\Delta x^4} + \frac{P_{3,j}}{2\Delta x^3} \quad (2.17e)$$

biçiminde göz önüne alınırsa, (2.16) denklemi

$$b_{4,j} X_{n,j+2} + b_{3,j} X_{n,j+1} + b_{2,j} X_{n,j} + b_{1,j} X_{n,j-1} + b_{0,j} X_{n,j-2} = 0 \quad (2.18)$$

formunda yazılır. Bu taktirde, iki ucu basit mesnet için sınır şartları;

$$B_{11}(X_n) = X_n, B_{12}(X_n) = X_n'', B_{21}(X_n) = X_n, B_{22}(X_n) = X_n'' \quad (2.19)$$

iki ucu ankastre mesnet için sınır şartları;

$$B_{11}(X_n) = X_n, B_{12}(X_n) = X_n', B_{21}(X_n) = X_n, B_{22}(X_n) = X_n' \quad (2.20)$$

bir ucu basit diğer ucu ankastre mesnet için sınır şartları;

$$B_{11}(X_n) = X_n, B_{12}(X_n) = X_n'', B_{21}(X_n) = X_n, B_{22}(X_n) = X_n' \quad (2.21)$$

biçimindedir. Böylece sınır şartları uygulanırsa, (2.16) denkleminde bir cebirsel denklem sistemi elde edilir.

Sınır şartlarına sonlu farklar uygulanırsa, iki ucu basit mesnet için sınır şartları;

$$X_{n,0} = 0, X_{n,-1} = -X_{n,1}, X_{n,N} = 0, X_{n,N+1} = -X_{n,N-1} \quad (2.22)$$

iki ucu ankastre mesnet için sınır şartları;

$$X_{n,0} = 0, X_{n,-1} = X_{n,1}, X_{n,N} = 0, X_{n,N+1} = X_{n,N-1} \quad (2.23)$$

bir ucu basit diğer ucu ankastre mesnet için sınır şartları;

$$X_{n,0} = 0, X_{n,-1} = -X_{n,1}, X_{n,N} = 0, X_{n,N+1} = X_{n,N-1} \quad (2.24)$$

bulunur. İki ucu basit mesnet için (2.22) sınır şartlarını ve (2.16-2.17) eşitliklerini kullanarak oluşturulan cebirsel denklem sisteminin matris formundaki gösterimi aşağıdaki gibidir.

$$\begin{bmatrix} b_{2,j} - b_{0,j} & b_{3,j} & b_{4,j} & 0 & 0 & \cdots & \cdots & \cdots & \cdots & 0 \\ b_{1,j} & b_{2,j} & b_{3,j} & b_{4,j} & 0 & 0 & \cdots & \cdots & \cdots & 0 \\ b_{0,j} & b_{1,j} & b_{2,j} & b_{3,j} & b_{4,j} & 0 & 0 & \cdots & \cdots & 0 \\ 0 & b_{0,j} & b_{1,j} & b_{2,j} & b_{3,j} & b_{4,j} & 0 & 0 & \cdots & 0 \\ \vdots & \vdots & \vdots & \vdots & \vdots & \vdots & \vdots & \vdots & \vdots & \vdots \\ \vdots & \vdots & \vdots & \vdots & \vdots & \vdots & \vdots & \vdots & \vdots & \vdots \\ 0 & \cdots & 0 & 0 & b_{0,j} & b_{1,j} & b_{2,j} & b_{3,j} & b_{4,j} & 0 \\ 0 & \cdots & \cdots & 0 & 0 & b_{0,j} & b_{1,j} & b_{2,j} & b_{3,j} & b_{4,j} \\ 0 & \cdots & \cdots & \cdots & 0 & 0 & b_{0,j} & b_{1,j} & b_{2,j} & b_{3,j} \\ 0 & \cdots & \cdots & \cdots & \cdots & 0 & 0 & b_{0,j} & b_{1,j} & b_{2,j} - b_{4,j} \end{bmatrix} \begin{Bmatrix} X_{n,1} \\ X_{n,2} \\ X_{n,3} \\ X_{n,4} \\ \vdots \\ \vdots \\ X_{n,N-4} \\ X_{n,N-3} \\ X_{n,N-2} \\ X_{n,N-1} \end{Bmatrix} = \begin{Bmatrix} 0 \\ 0 \\ 0 \\ 0 \\ \vdots \\ \vdots \\ 0 \\ 0 \\ 0 \\ 0 \end{Bmatrix} \quad (2.25)$$

Benzer şekilde sırasıyla iki ucu ankastre mesnet ve bir ucu basit diğer ucu ankastre mesnet için cebirsel denklem sistemlerinin matris formu,

$$\begin{bmatrix}
b_{2,j} + b_{0,j} & b_{3,j} & b_{4,j} & 0 & 0 & \cdots & \cdots & \cdots & \cdots & 0 \\
b_{1,j} & b_{2,j} & b_{3,j} & b_{4,j} & 0 & 0 & \cdots & \cdots & \cdots & 0 \\
b_{0,j} & b_{1,j} & b_{2,j} & b_{3,j} & b_{4,j} & 0 & 0 & \cdots & \cdots & 0 \\
0 & b_{0,j} & b_{1,j} & b_{2,j} & b_{3,j} & b_{4,j} & 0 & 0 & \cdots & 0 \\
\vdots & \vdots & \vdots & \vdots & \vdots & \vdots & \vdots & \vdots & \vdots & \vdots \\
\vdots & \vdots & \vdots & \vdots & \vdots & \vdots & \vdots & \vdots & \vdots & \vdots \\
0 & \cdots & 0 & 0 & b_{0,j} & b_{1,j} & b_{2,j} & b_{3,j} & b_{4,j} & 0 \\
0 & \cdots & \cdots & 0 & 0 & b_{0,j} & b_{1,j} & b_{2,j} & b_{3,j} & b_{4,j} \\
0 & \cdots & \cdots & \cdots & 0 & 0 & b_{0,j} & b_{1,j} & b_{2,j} & b_{3,j} \\
0 & \cdots & \cdots & \cdots & \cdots & 0 & 0 & b_{0,j} & b_{1,j} & b_{2,j} + b_{4,j}
\end{bmatrix}
\begin{Bmatrix}
X_{n,1} \\
X_{n,2} \\
X_{n,3} \\
X_{n,4} \\
\vdots \\
\vdots \\
X_{n,N-4} \\
X_{n,N-3} \\
X_{n,N-2} \\
X_{n,N-1}
\end{Bmatrix}
=
\begin{Bmatrix}
0 \\
0 \\
0 \\
0 \\
\vdots \\
\vdots \\
0 \\
0 \\
0 \\
0
\end{Bmatrix}
\quad (2.26)$$

$$\begin{bmatrix}
b_{2,j} - b_{0,j} & b_{3,j} & b_{4,j} & 0 & 0 & \cdots & \cdots & \cdots & \cdots & 0 \\
b_{1,j} & b_{2,j} & b_{3,j} & b_{4,j} & 0 & 0 & \cdots & \cdots & \cdots & 0 \\
b_{0,j} & b_{1,j} & b_{2,j} & b_{3,j} & b_{4,j} & 0 & 0 & \cdots & \cdots & 0 \\
0 & b_{0,j} & b_{1,j} & b_{2,j} & b_{3,j} & b_{4,j} & 0 & 0 & \cdots & 0 \\
\vdots & \vdots & \vdots & \vdots & \vdots & \vdots & \vdots & \vdots & \vdots & \vdots \\
\vdots & \vdots & \vdots & \vdots & \vdots & \vdots & \vdots & \vdots & \vdots & \vdots \\
0 & \cdots & 0 & 0 & b_{0,j} & b_{1,j} & b_{2,j} & b_{3,j} & b_{4,j} & 0 \\
0 & \cdots & \cdots & 0 & 0 & b_{0,j} & b_{1,j} & b_{2,j} & b_{3,j} & b_{4,j} \\
0 & \cdots & \cdots & \cdots & 0 & 0 & b_{0,j} & b_{1,j} & b_{2,j} & b_{3,j} \\
0 & \cdots & \cdots & \cdots & \cdots & 0 & 0 & b_{0,j} & b_{1,j} & b_{2,j} + b_{4,j}
\end{bmatrix}
\begin{Bmatrix}
X_{n,1} \\
X_{n,2} \\
X_{n,3} \\
X_{n,4} \\
\vdots \\
\vdots \\
X_{n,N-4} \\
X_{n,N-3} \\
X_{n,N-2} \\
X_{n,N-1}
\end{Bmatrix}
=
\begin{Bmatrix}
0 \\
0 \\
0 \\
0 \\
\vdots \\
\vdots \\
0 \\
0 \\
0 \\
0
\end{Bmatrix}
\quad (2.27)$$

biçiminde verilebilir. Aşık olmayan yani sıfırdan farklı çözüm için (2.25-2.27) katsayılar matrisinin determinanı sıfırdır. Burada  $X_n$  mod yapısı  $N/2$  düğümüne bağlı olarak elde edilir. Böylece (2.5) denkleminin çözümü  $y_0$  belirlenir.  $\varepsilon$ -mertebedeki yaklaşık çözüm için, (2.9) denklemi (2.7) denklemde yerine yazılır ve denklem yeniden düzenlenirse, *k.e.* kompleks eşlenik olmak üzere,

$$\begin{aligned}
a(x)D_0^2 y_1 + L_1[y_1] &= -\left[2a(x)i\omega_n X_n D_1 A_n + i\omega_n A_n L_3[X_n]\right] e^{i\omega_n T_0} \\
&\quad - \frac{L_2[X_n]}{2} \left[ A_n \left( e^{i(\omega_n + \Omega_1)T_0} + e^{i(\omega_n - \Omega_1)T_0} \right) \right] - \frac{F(x)}{2} e^{i\Omega_2 T_0} + k.e.
\end{aligned}
\quad (2.28)$$

bulunur. Bu takdirde (2.28) denkleminin çözümü

$$y_1(x, T_0, T_1) = \phi_n(x, T_1) e^{i\omega_n T_0} + Y(x, T_0, T_1) + k.e. \quad (2.29)$$

biçiminde göz önüne alınabilir. Burada ilk terim seküler terimle, ikinci terim ise seküler olmayan terimle ilgilidir. Zorlama ile ilgili terim, frekansa bağlı olarak ya

seküler ya da seküler olmayan terimdir. Burada ortaya çıkabilecek tüm durumlar tek tek aşağıda analiz edilecektir.

#### 2.4. Durum İncelenmesi

Bu bölümde, zorlama frekansına bağlı olarak ortaya çıkan dört farklı durum incelenecektir. Bu durumların araştırılmasında [24] de detayları verilen çözülebilirlik şartları uygulanmıştır. Çözülebilirlik şartlarının uygulamasından sonra, sayısal değerleri var olan  $X_n$ , mod yapısını içeren bazı belirli integraller ve türevleri

$$\alpha_{in} = \int_0^1 X_n L_i [X_n] dx \quad (2.30)$$

formunda bulunur. Dolayısıyla nümerik integrasyon tekniğine ihtiyaç duyulur. Bu çalışmada nümerik integrasyon yöntemi olarak Simpson metodu kullanılır.  $N$  alt aralık sayısı ve  $\Delta x = 1/N$  olmak üzere, Simpson metodu

$$\int_0^1 f(x) dx \cong \frac{\Delta x}{3} [f_0 + 4(f_1 + f_3 + \dots + f_{2N-1}) + 2(f_2 + f_4 + \dots + f_{2N}) + f_N] \quad (2.31)$$

formülü ile verilir. Burada  $f_j$  fonksiyonu

$$\begin{aligned} f_j = \frac{X_{n,j}}{\Delta x^4} & \left[ X_{n,j+2} (\Delta x P_3(x_j) + P_4(x_j)) \right. \\ & + X_{n,j+1} (\Delta x^3 P_1(x_j) + \Delta x^2 P_2(x_j) - 2\Delta x P_3(x_j) - 4P_4(x_j)) \\ & + X_{n,j} (\Delta x^4 P_0(x_j) - 2\Delta x^2 P_2(x_j) + 6P_4(x_j)) \\ & + X_{n,j-1} (-\Delta x^3 P_1(x_j) + \Delta x^2 P_2(x_j) + 2\Delta x P_3(x_j) - 4P_4(x_j)) \\ & \left. + X_{n,j-2} (-\Delta x P_3(x_j) + P_4(x_j)) \right] \end{aligned} \quad (2.32)$$

denkleme karşılık gelmektedir.

##### 2.4.1. $\Omega_1$ 'in 0 ve $2\omega_n$ 'den, $\Omega_2$ 'nin $\omega_n$ 'den uzak olduğu durum ( $\Omega_1 \neq 0$ , $\Omega_1 \neq 2\omega_n$ ve $\Omega_2 \neq \omega_n$ )

Burada çözülebilirlik şartı ve yaklaşık doğal frekans bulunacaktır.  $\Omega_1$  'in 0 'dan ve  $2\omega_n$  'den,  $\Omega_2$  'nin  $\omega_n$  'den uzak olduğu durum için (2.28) denklemi aşağıdaki gibidir:

$$a(x) D_0^2 y_1 + L_1 [y_1] = -(2a(x) i\omega_n X_n D_1 A_n + i\omega_n A_n L_3 [X_n]) e^{i\omega_n T_0} + k.e. + S.O.T \quad (2.33)$$

Burada *k.e.* önceki terimlerin kompleks eşleniklerini ve *S.O.T* seküler olmayan terimleri göstermektedir. (2.29) denklemi (2.33) denklemde yerine yazılırsa,

$$L_1(\phi_n) - a(x)\omega_n^2\phi_n = -2a(x)i\omega_n X_n D_1 A_n - i\omega_n L_3[X_n]A_n \quad (2.34)$$

elde edilir. Burada homojen kısmın, basit olmayan bir çözümü olduğundan, homojen olmayan (2.34) denkleminin bir çözümünün olabilmesi ancak çözülebilirlik şartına bağlıdır. Buna göre, (2.34) denkleminin her iki tarafı  $X_n$  ile çarpılır ve tanım kümesi üzerinden integre edilirse,

$$2i\omega_n D_1 A_n \int_0^1 a(x) X_n^2 dx + i\omega_n A_n \int_0^1 L_3[X_n] X_n dx = 0 \quad (2.35)$$

bulunur. Burada  $\alpha_{3n}$  katsayısı

$$\alpha_{3n} = \frac{1}{2} \int_0^1 X_n L_3[X_n] dx \quad (2.36)$$

olmak üzere,

$$\int_0^1 a(x) X_n^2 dx = 1 \quad (2.37)$$

normalizasyonu ile

$$D_1 A_n + \alpha_{3n} A_n = 0 \quad (2.38)$$

elde edilir. (2.38) denkleminin çözümünden

$$A_n = ce^{-\alpha_{3n} T_1} \quad (2.39)$$

bulunur. Burada  $c$  keyfi sabit,  $\alpha_{3n}$  reel ve pozitiftir. Burada sistemin genliğinin hızla azaldığı ve çözümün kararlı olduğu görülmektedir.

#### 2.4.2. $\Omega_1$ in 0'a yakın, $\Omega_2$ 'nin $\omega_n$ 'den uzak olduğu durum ( $\Omega_1 \approx 0$ ve $\Omega_2 \neq \omega_n$ )

Burada  $\sigma_n$  ayar parametresi olmak üzere,  $\Omega_1 = 0 + \varepsilon\sigma_n$  olup (2.28) denklemi bu değerlere göre düzenlenirse,

$$a(x)D_0^2 y_1 + L_1[y_1] = -(2a(x)i\omega_n X_n D_1 A_n + i\omega_n A_n L_3[X_n])e^{i\omega_n T_0} - \frac{L_2[X_n]}{2} \left( A_n \left( e^{i(\omega_n + \varepsilon\sigma_n)T_0} + e^{i(\omega_n - \varepsilon\sigma_n)T_0} \right) \right) + k.e. + S.O.T \quad (2.40)$$

biçiminde elde edilir. Buna göre  $\varepsilon T_0 = T_1$  olmak üzere, (2.29) denklemi (2.40) denkleminde yerine yazılırsa,

$$L_1(\phi_n) - a(x)\omega_n^2\phi_n = -2a(x)i\omega_n X_n D_1 A_n - i\omega_n L_3[X_n]A_n - L_2[X_n]A_n \cos \sigma_n T_1 \quad (2.41)$$

haline indirgenir. Burada homojen kısmın basit olmayan bir çözümü olduğundan, (2.41) denkleminin çözülebilirlik şartı uygulanırsa

$$\int_0^1 \left( a(x) X_n^2 D_1 A_n + \frac{1}{2} A_n X_n L_3 [X_n] \right) dx - A_n \cos \sigma_n T_1 \frac{i}{2\omega_n} \int_0^1 X_n L_2 [X_n] dx = 0 \quad (2.42)$$

sonucuna ulaşılır. Böylece (2.36) denklemi ve

$$\alpha_{2n} = -\frac{1}{4\omega_n} \int_0^1 X_n L_2 [X_n] dx \quad (2.43)$$

katsayısı (2.42) denklemde yerine yazılırsa,

$$D_1 A_n + (\alpha_{3n} + 2i\alpha_{2n} \cos \sigma_n T_1) A_n = 0 \quad (2.44)$$

olarak bulunur. Böylece (2.44) denkleminin çözümü

$$A_n = A_0 e^{-\alpha_{3n} T_1 - \frac{2i\alpha_{2n}}{\sigma} \sin \sigma_n T_1} \quad (2.45)$$

biçimindedir. Burada  $A_0 e^{-\alpha_{3n} T_1}$  teriminin genliğin azalmasına yol açtığı görülmektedir. Diğer taraftan  $|\sin \sigma_n T_1| \leq 1$  olduğundan kompleks genlik zamana göre sınırlıdır. Bununla birlikte, yaklaşımın bu mertebesinde kararlılığa sahip olmadığı görülür.

### 2.4.3. $\Omega_1$ 'in $2\omega_n$ 'e yakın, $\Omega_2$ 'nin $\omega_n$ 'den uzak olduğu durum ( $\Omega_1 \cong 2\omega_n$ ve $\Omega_2 \neq \omega_n$ )

Bu bölümde zorlama frekansının doğal frekanslardan birinin iki katı olduğu durum olan temel parametrik rezonans incelenecektir.  $\Omega_1 \cong 2\omega_n$  ve  $\Omega_2 \neq \omega_n$  olduğu durum için  $\Omega_1 = 2\omega_n + \varepsilon\sigma_n$  olmak üzere, (2.28) denklemi

$$a(x) D_0^2 y_1 + L_1 [y_1] = - \left( 2a(x) i\omega_n X_n D_1 A_n + i\omega_n A_n L_3 [X_n] \right) e^{i\omega_n T_0} - \frac{L_2 [X_n]}{2} \left( \bar{A}_n \left( e^{i(\omega_n + \varepsilon\sigma_n) T_0} + e^{i(-3\omega_n - \varepsilon\sigma_n) T_0} \right) \right) + k.e + S.O.T \quad (2.46)$$

formuna indirgenir. (2.29) denklemi (2.46) denklemde yerine yazılırsa,

$$L_1 (\varphi_n) - a(x) \omega_n^2 \varphi_n = -2a(x) i\omega_n X_n D_1 A_n - i\omega_n L_3 (X_n) A_n - \frac{L_2 [X_n]}{2} \bar{A}_n e^{i\sigma_n T_1} \quad (2.47)$$

bulunur. (2.47) denkleminin çözülebilirlik şartı uygulanırsa,

$$\int_0^1 \left( a(x) X_n^2 D_1 A_n + \frac{1}{2} A_n X_n L_3 [X_n] \right) dx - \bar{A}_n e^{i\sigma_n T_1} \frac{i}{4\omega_n} \int_0^1 X_n L_2 [X_n] dx = 0 \quad (2.48)$$



sonucuna ulaşılır. Normalizasyon yapılır, (2.36) ve (2.43) katsayılarına göre denklem düzenlenirse,

$$D_1 A_n + \alpha_{3n} A_n + i\alpha_{2n} e^{i\sigma_n T_1} \bar{A}_n = 0 \quad (2.49)$$

elde edilir. Buna göre,  $A_n$  kutupsal formda

$$A_n = \frac{1}{2} a_n(T_1) e^{i\beta_n(T_1)} \quad (2.50)$$

biçiminde kabul edilerek, (2.49) denkleminde yerine yazılırsa,

$$\begin{aligned} \frac{1}{2} \frac{da_n(T_1)}{dT_1} e^{i\beta_n(T_1)} + \frac{i}{2} a_n(T_1) \frac{d\beta_n(T_1)}{dT_1} e^{i\beta_n(T_1)} + \alpha_{3n} \frac{1}{2} a_n(T_1) e^{i\beta_n(T_1)} \\ + \frac{i}{2} \alpha_{2n} a_n(T_1) e^{i\sigma_n T_1 - i\beta_n(T_1)} = 0 \end{aligned} \quad (2.51)$$

bulunur. Elde edilen denklem  $e^{-i\beta_n(T_1)}$  ile çarpılırsa,

$$\frac{da_n(T_1)}{dT_1} + ia_n(T_1) \frac{d\beta_n(T_1)}{dT_1} + \alpha_{3n} a_n(T_1) + i\alpha_{2n} a_n(T_1) e^{i(\sigma_n T_1 - 2\beta_n(T_1))} = 0 \quad (2.52)$$

elde edilir. Burada  $\gamma = \sigma_n T_1 - 2\beta$  alınırsa,

$$\frac{da_n(T_1)}{dT_1} + ia_n(T_1) \frac{d\beta_n(T_1)}{dT_1} + \alpha_{3n} a_n(T_1) + i\alpha_{2n} a_n(T_1) e^{i\gamma} = 0 \quad (2.53)$$

bulunur. Sonuçta bu denklem reel ve imajiner olmak üzere ayrıştırılıp, gerekli matematiksel işlemler yapılırsa,

$$\text{Re: } \frac{da_n}{dT_1} + \alpha_{3n} a_n - a_n \alpha_{2nl} \sin \gamma = 0 \quad (2.54)$$

$$\text{Im: } \sigma_n - \frac{d\gamma}{dT_1} + \alpha_{2nl} \cos \gamma = 0 \quad (2.55)$$

biçiminde baskın rezonans durumuna ait genlik ve faz modülasyon denklemleri elde edilir. Kararlı hal çözümleri için  $da_n/dT_1$  ve  $d\gamma/dT_1$  türevleri sifıra eşit olmalıdır.

Bu şart (2.54) ve (2.55) denklemlerinde yerine yazılırsa,

$$\text{Re: } \alpha_{3n} a_n - a_n \alpha_{2nl} \sin \gamma = 0 \quad (2.56)$$

$$\text{Im: } \sigma_n - \alpha_{2nl} \cos \gamma = 0 \quad (2.57)$$

bulunur. Bu denklemlerde de  $\gamma$  ifadesi yok edilirse,  $\sigma_n$  ayar parametresi

$$\sigma_n = \mp \sqrt{\alpha_{2nl}^2 - \alpha_{3n}^2} \quad (2.58)$$

formunda elde edilir.

**2.4.4.  $\Omega_1$  'in 0 ve  $2\omega_n$  'den uzak,  $\Omega_2$  'nin  $\omega_n$  'e yakın olduğu durum ( $\Omega_1 \neq 0$ ,  $\Omega_1 \neq 2\omega_n$  ve  $\Omega_2 \cong \omega_n$  )**

Bu kısımda dış zorlama kuvvetine ait frekansın, sistemin doğal frekanslarından birine eşit veya çok yakın olmasıyla meydana gelen baskın rezonans durumu incelenecektir. Bu durumda  $\Omega_2 = \omega_n + \varepsilon\sigma_n$  olma durumu göz önüne alınır, (2.28) denklemi

$$a(x)D_0^2 y_1 + L_1[y_1] = -(2a(x)i\omega_n X_n D_1 A_n + i\omega_n A_n L_3[X_n])e^{i\omega_n T_0} - \frac{F(x)}{2} e^{i(\omega_n + \varepsilon\sigma_n)T_0} + k.e. + S.O.T \quad (2.59)$$

olarak bulunur. (2.29) denklemi (2.59) denklemine yerine yazılırsa,

$$L_1(\varphi_n) - a(x)\omega_n^2 \varphi_n = -2a(x)i\omega_n X_n D_1 A_n - i\omega_n L_3(X_n)A_n - \frac{F(x)}{2} e^{i\varepsilon\sigma_n T_0} \quad (2.60)$$

formuna indirgenir. (2.60) denklemine çözülebilirlik şartı uygulanırsa

$$\int_0^1 \left( a(x) X_n^2 D_1 A_n + \frac{1}{2} A_n X_n L_3[X_n] \right) dx - \frac{i}{\omega_n} \int_0^1 X_n \frac{F(x)}{4} e^{i\sigma_n T_1} dx = 0 \quad (2.61)$$

bulunur. Böylece, (2.36) denklemi ile birlikte

$$\alpha_{1n} = \frac{1}{2\omega_n} \int_0^1 F(x) X_n dx \quad (2.62)$$

olmak üzere,

$$D_1 A_n + \alpha_{3n} A_n = \frac{1}{2} i\alpha_{1n} e^{i\sigma_n T_1} \quad (2.63)$$

elde edilir. Kutupsal formda tanımlanan

$$A_n = \frac{1}{2} a_n(T_1) e^{i\beta_n(T_1)} \quad (2.64)$$

ifadesi (2.63) denklemine yerine yazılırsa,

$$\frac{1}{2} \frac{da_n(T_1)}{dT_1} e^{i\beta_n(T_1)} + \frac{i}{2} a_n(T_1) \frac{d\beta_n(T_1)}{dT_1} e^{i\beta_n(T_1)} + \alpha_{3n} \frac{1}{2} a_n(T_1) e^{i\beta_n(T_1)} - \frac{1}{2} i\alpha_{1n} e^{i\sigma_n T_1} = 0 \quad (2.65)$$

olup, sonuç denklem  $e^{i\beta_n(T_1)}$  ile çarpılırsa,

$$\frac{da_n(T_1)}{dT_1} + ia_n(T_1) \frac{d\beta_n(T_1)}{dT_1} + \alpha_{3n} a_n(T_1) + i\alpha_{1n} e^{i(\sigma_n T_1 - \beta_n(T_1))} = 0 \quad (2.66)$$

bulunur. Sonuç denklemde  $\gamma_n = \sigma_n T_1 - \beta_n(T_1)$  yerine yazılarak, reel ve imajiner

olmak üzere iki kısma ayrıştırılırsa,

$$\text{Re: } \frac{da_n}{dT_1} + \alpha_{3n} a_n = -\alpha_{1nl} \sin \gamma_n \quad (2.67)$$

$$\text{Im: } \sigma_n a_n - \frac{d\gamma}{dT_1} a_n = \alpha_{1nl} \cos \gamma_n \quad (2.68)$$

elde edilir. Buna göre, kararlı hal çözümleri için  $da_n/dT_1$  ve  $d\gamma/dT_1$  ifadeleri sıfıra eşitlenirse,

$$\text{Re: } \alpha_{3n} a_n = -\alpha_{1nl} \sin \gamma_n \quad (2.69)$$

$$\text{Im: } \sigma_n a_n = \alpha_{1nl} \cos \gamma_n \quad (2.70)$$

bulunur. Bu denklemlerde  $\gamma_n$  ifadesi yok edilirse,  $\sigma_n$  ayar parametresi

$$\sigma_n = \mp \frac{1}{a_n} \sqrt{\alpha_{1nl}^2 - a_n^2 \alpha_{3n}^2} \quad (2.71)$$

biçiminde elde edilir.

### III. BÖLÜM

#### UYGULAMALAR

##### 3.1. Winkler Tipi Elastik Temel Üzerindeki Kirişin Enine Titreşimleri

Burada Winkler tipi elastik temel üzerindeki kirişin enine titreşimleri göz önüne alınacaktır. Daha önce literatürde [34] ile ifade edilen çalışmada ortaya koyulan matematik modele dış zorlama ve sönüm terimi eklenerek, yeni bir hareket denklemi elde edilmiştir. Buna göre hareket denklemi ve sınır şartları

$$EI \hat{y}^{iv} + \hat{k}_0 H(\hat{x} - \hat{a}) \hat{y} + \varepsilon \hat{\mu} \dot{\hat{y}} + m \ddot{\hat{y}} = \hat{f}(\hat{x}) \cos \hat{\Omega} \hat{t} \quad (3.1a)$$

$$\hat{y}(0, t) = EI \hat{y}''(0, t) = 0 \text{ ve } \hat{y}(\ell, t) = EI \hat{y}''(\ell, t) = 0 \quad (3.1b)$$

biçimindedir. Burada  $\hat{y}(\hat{x}, \hat{t})$  enine deplasmanı,  $\hat{x}$  konumu,  $\hat{t}$  zaman değişkenini temsil eder.  $E$  elastisite modülü,  $I$  atalet momenti,  $\hat{k}$  yay sabiti ve  $\varepsilon$  çok küçük bir parametredir.  $\hat{\mu}$  lineer viskoz sönüm katsayısı,  $m$  birim kesit kütlesi ve  $\ell$  iki mesnet arası uzunluktur.  $\hat{f}$  ve  $\hat{\Omega}$  sırasıyla dış zorlama kuvveti ve frekansını temsil etmektedir.  $H$  Heaviside adım fonksiyonudur.

(3.1a) denklemi malzeme bağımlılığından kurtulmak için boyutsuzlaştırılır. Literatürde yaygın olarak bilinen boyutsuz terim

$$y = \frac{\hat{y}}{\ell}, \quad x = \frac{\hat{x}}{\ell}, \quad t = \frac{\hat{t}}{\ell^2} \sqrt{\frac{EI}{m}} \quad (3.2)$$

olmak üzere, bu değerler (3.1) denklemlerinde yerine yazılırsa,

$$\frac{EI}{\ell^3} \frac{\partial^4 y}{\partial x^4} + \varepsilon \hat{\mu} \frac{\sqrt{EI}}{\ell \sqrt{m}} \frac{\partial y}{\partial t} + \hat{k}_0 H(x - a) y + \frac{EI}{\ell^3} \frac{\partial^2 y}{\partial t^2} - \hat{f}(x) \cos \left( \hat{\Omega} \ell^2 \sqrt{\frac{m}{EI}} t \right) = 0 \quad (3.3)$$

elde edilir. Denklemin her iki tarafı  $\frac{\ell^3}{EI}$  ile çarpılırsa,

$$\frac{\partial^4 y}{\partial x^4} + \varepsilon \hat{\mu} \frac{\ell^2}{\sqrt{EI m}} \frac{\partial y}{\partial t} + \frac{\ell^4}{EI} \hat{k}_0 H(x - a) y + \frac{\partial^2 y}{\partial t^2} - \frac{\ell^3}{EI} \hat{f}(x) \cos \left( \hat{\Omega} \ell^2 \sqrt{\frac{m}{EI}} t \right) = 0 \quad (3.4)$$

bulunur. Boyutsuz yeni terimler

$$\mu = \hat{\mu} \frac{\ell^2}{\sqrt{EI m}}, \quad k_0 H(x - a) = \frac{\ell^4}{EI} \hat{k}_0 H(\hat{x} - \hat{a}), \quad \varepsilon f = \frac{\ell^3}{EI} \hat{f}(x), \quad \Omega = \hat{\Omega} \ell^2 \sqrt{\frac{m}{EI}} \quad (3.5)$$

olmak üzere, (3.4) denklemi ve sınır şartları

$$\frac{\partial^4 y}{\partial x^4} + \varepsilon \mu \frac{\partial y}{\partial t} + k_0 H(x-a) y + \frac{\partial^2 y}{\partial t^2} = \varepsilon f(x) \cos \Omega t \quad (3.6a)$$

$$y(0,t) = y''(0,t) = 0 \text{ ve } y(1,t) = y''(1,t) = 0 \quad (3.6b)$$

olarak elde edilir. Böylece, genel modelde verilen operatörlere karşılık gelen terimlerin

$$L_1[y] = y^{iv} + k_0 H(x-a) y \quad (3.7a)$$

$$L_2[y] = 0 \quad (3.7b)$$

$$L_3[\dot{y}] = \mu \dot{y} \quad (3.7c)$$

$$a(x) = 1 \text{ ve } \Omega_1 = \Omega \quad (3.7d)$$

olduğu görülür. Bu terimler (2.11) denkleminde yerine koyulursa,

$$X_n^{iv} + (k_0 H(x-a) - \omega_n^2) X_n = 0 \quad (3.8)$$

$$X_n(0) = X_n''(0) = 0 \text{ ve } X_n(1) = X_n''(1) = 0 \quad (3.9)$$

bulunur. Ardından (3.8) denkleminin katsayıları, (2.17) denklemindeki katsayılara karşılık getirilirse

$$b_{0,i} = 1, b_{1,i} = -4, b_{2,i} = 6 + (k_0 H(x-a) - \omega_n^2) \Delta x^4, b_{3,i} = -4, b_{4,i} = 1 \quad (3.10)$$

bulunur. Burada  $H$  Heaviside Adım fonksiyonu

$$H(x-a) = \begin{cases} 0 & x < a \\ 1 & x \geq a \end{cases} \quad (3.11)$$

ile tanımlıdır ve  $b_{2,i}$  katsayısı

$$\bar{b}_{2,i} = 6 - \omega_n^2 \Delta x^4, \underline{b}_{2,i} = 6 + (k_0 - \omega_n^2) \Delta x^4 \quad (3.12)$$

biçiminde yazılır. Burada  $\bar{b}_{2,i}$  zeminin bulunmadığı kısım ve  $\underline{b}_{2,i}$  zeminin olduğu kısımdaki değerleri göstermektedir. (3.10)-(3.12) katsayıları (2.25) matrisinde yerine yazılırsa,



$$EIy_1''(\eta, t) = EIy_2''(\eta, t) \quad (3.18c)$$

$$(EIy_1''(\eta, t))' = (EIy_2''(\eta, t))' \quad (3.18d)$$

biçiminde verilir. Çok zaman ölçekli metoda göre

$$y_1(x, T_0, T_1; \varepsilon) \cong y_{10}(x, T_0, T_1) + \varepsilon y_{11}(x, T_0, T_1) + \dots \quad (3.19)$$

$$y_2(x, T_0, T_1; \varepsilon) \cong y_{20}(x, T_0, T_1) + \varepsilon y_{21}(x, T_0, T_1) + \dots \quad (3.20)$$

pertürbasyon seri açılımını göz önüne alınır ve (3.19)-(3.20) denklemleri (3.15)-(3.16) denkleminde yerine yazılırsa,

$$y_{10}^{iv} + \varepsilon y_{11}^{iv} + \varepsilon \mu D_0 y_{10} + D_0^2 y_{10} + \varepsilon D_0^2 y_{11} + 2\varepsilon D_0 D_1 y_{10} - \varepsilon f(x) \cos \Omega T_0 = 0 \quad (3.21)$$

$$y_{20}^{iv} + \varepsilon y_{21}^{iv} + \varepsilon \mu D_0 y_{20} + k_0 y_{20} + \varepsilon k_0 y_{21} + D_0^2 y_{20} + \varepsilon D_0^2 y_{21} + 2\varepsilon D_0 D_1 y_{20} - \varepsilon f(x) \cos \Omega T_0 = 0 \quad (3.22)$$

elde edilir. Sonuç denklem mertebelerine ayrıştırılırsa, bir mertebesindeki denklem

$$O(1) : y_{10}^{iv} + D_0^2 y_{10} = 0 \quad (3.23)$$

$$y_{20}^{iv} + k_0 y_{20} + D_0^2 y_{20} = 0 \quad (3.24)$$

olmak üzere, sınır şartları

$$y_{10}(0, T_0, T_1) = 0, EIy_{10}''(0, T_0, T_1) = 0 \text{ ve } y_{20}(1, T_0, T_1) = 0, EIy_{20}''(1, T_0, T_1) = 0 \quad (3.25)$$

ve geçiş şartları

$$y_{10}(\eta, T_0, T_1) = y_{20}(\eta, T_0, T_1), \quad (3.26a)$$

$$y_{10}'(\eta, T_0, T_1) = y_{20}'(\eta, T_0, T_1), \quad (3.26b)$$

$$EIy_{10}''(\eta, T_0, T_1) = EIy_{20}''(\eta, T_0, T_1), \quad (3.26c)$$

$$(EIy_{10}''(\eta, T_0, T_1))' = (EIy_{20}''(\eta, T_0, T_1))' \quad (3.26d)$$

olarak bulunur.  $\varepsilon$  mertebesindeki denklem

$$O(\varepsilon) : y_{11}^{iv} + D_0^2 y_{11} = -\mu D_0 y_{10} - 2D_0 D_1 y_{10} + \varepsilon f(x) \cos \Omega T_0 \quad (3.27)$$

$$y_{21}^{iv} + D_0^2 y_{21} + k_0 y_{21} = -\mu D_0 y_{20} - 2D_0 D_1 y_{20} + f(x) \cos \Omega T_0 \quad (3.28)$$

olup, sınır şartları

$$y_{11}(0, T_0, T_1) = 0, EIy_{11}''(0, T_0, T_1) = 0 \text{ ve } y_{21}(1, T_0, T_1) = 0, EIy_{21}''(1, T_0, T_1) = 0 \quad (3.29)$$

ve geçiş şartları

$$y_{11}(\eta, T_0, T_1) = y_{21}(\eta, T_0, T_1), \quad (3.30a)$$

$$y_{11}'(\eta, T_0, T_1) = y_{21}'(\eta, T_0, T_1), \quad (3.30b)$$

$$EIy''_{11}(\eta, T_0, T_1) = EIy''_{21}(\eta, T_0, T_1), \quad (3.30c)$$

$$(EIy''_{11}(\eta, T_0, T_1))' = (EIy''_{21}(\eta, T_0, T_1))'. \quad (3.30d)$$

biçimindedir. Buna göre,  $O(1)$  mertebesindeki çözüm

$$y_{10} = (A(T_1)e^{i\omega_n T_0} + \bar{A}(T_1)e^{-i\omega_n T_0})X_{1n}(x) \quad (3.31)$$

$$y_{20} = (A(T_1)e^{i\omega_n T_0} + \bar{A}(T_1)e^{-i\omega_n T_0})X_{2n}(x) \quad (3.32)$$

olmak üzere, (3.31)-(3.32) denklemleri (3.23)-(3.24) denkleminde yerine yazılırsa,

$$X_{1n}^{iv} - \omega_n^2 X_{1n} = 0 \quad (3.33)$$

$$X_{2n}^{iv} + (k_0 - \omega_n^2)X_{2n} = 0 \quad (3.34)$$

Sınır şartları,

$$X_{1n}(0) = 0, EIX''_{1n}(0) = 0 \text{ ve } X_{2n}(1) = 0, EIX''_{2n}(1) = 0 \quad (3.35)$$

Geçiş şartları

$$X_{1n}(\eta) = X_{2n}(\eta), \quad (3.36a)$$

$$X'_{1n}(\eta) = X'_{2n}(\eta), \quad (3.36b)$$

$$EIX''_{1n}(\eta) = EIX''_{2n}(\eta), \quad (3.36c)$$

$$(EIX''_{1n}(\eta))' = (EIX''_{2n}(\eta))' \quad (3.36d)$$

olarak bulunur. Bu takdirde, (3.33)-(3.34) denkleminin çözümü

$$X_{1n}(x) = c_1 \cos(\sqrt{\omega_n}x) + c_2 \sin(\sqrt{\omega_n}x) + c_3 \cosh(\sqrt{\omega_n}x) + c_4 \sinh(\sqrt{\omega_n}x) \quad (3.37)$$

$$X_{2n}(x) = d_1 \cos(\sqrt{\omega_n^2 - k_0}x) + d_2 \sin(\sqrt{\omega_n^2 - k_0}x) + d_3 \cosh(\sqrt{\omega_n^2 - k_0}x) + d_4 \sinh(\sqrt{\omega_n^2 - k_0}x) \quad (3.38)$$

biçimindedir. Elde edilen çözüme, sınır ve geçiş şartları uygulanırsa matris formunda yazılan denklem sistemi aşağıdaki gibi elde edilir.

$$\begin{bmatrix} 1 & 0 & 1 & 0 & 0 & 0 & 0 & 0 \\ -\beta & 0 & \beta & 0 & 0 & 0 & 0 & 0 \\ \cos \sqrt{\beta}a & \sin \sqrt{\beta}a & \cosh \sqrt{\beta}a & \sinh \sqrt{\beta}a & -\cos \sqrt{\lambda}a & -\sin \sqrt{\lambda}a & -\cosh \sqrt{\lambda}a & -\sinh \sqrt{\lambda}a \\ \sqrt{\beta} \sin \sqrt{\beta}a & \sqrt{\beta} \cos \sqrt{\beta}a & \sqrt{\beta} \sinh \sqrt{\beta}a & \sqrt{\beta} \cosh \sqrt{\beta}a & \sqrt{\lambda} \sin \sqrt{\lambda}a & \sqrt{\lambda} \cos \sqrt{\lambda}a & -\sqrt{\lambda} \sinh \sqrt{\lambda}a & -\sqrt{\lambda} \cosh \sqrt{\lambda}a \\ -\beta \cos \sqrt{\beta}a & -\beta \sin \sqrt{\beta}a & \beta \cosh \sqrt{\beta}a & \beta \sinh \sqrt{\beta}a & \lambda \cos \sqrt{\lambda}a & \lambda \sin \sqrt{\lambda}a & -\lambda \cosh \sqrt{\lambda}a & -\lambda \sinh \sqrt{\lambda}a \\ \beta^{3/2} \sin \sqrt{\beta}a & -\beta^{3/2} \cos \sqrt{\beta}a & \beta^{3/2} \sinh \sqrt{\beta}a & \beta^{3/2} \cosh \sqrt{\beta}a & \lambda^{3/2} \sin \sqrt{\lambda}a & \lambda^{3/2} \cos \sqrt{\lambda}a & \lambda^{3/2} \sinh \sqrt{\lambda}a & \lambda^{3/2} \cosh \sqrt{\lambda}a \\ 0 & 0 & 0 & 0 & \cos \sqrt{\lambda}L & \sin \sqrt{\lambda}L & \cosh \sqrt{\lambda}L & \sinh \sqrt{\lambda}L \\ 0 & 0 & 0 & 0 & -\cos \sqrt{\lambda}L & -\sin \sqrt{\lambda}L & \cosh \sqrt{\lambda}L & \sinh \sqrt{\lambda}L \end{bmatrix} \begin{bmatrix} c_1 \\ c_2 \\ c_3 \\ c_4 \\ d_1 \\ d_2 \\ d_3 \\ d_4 \end{bmatrix} = \begin{bmatrix} 0 \\ 0 \\ 0 \\ 0 \\ 0 \\ 0 \\ 0 \\ 0 \end{bmatrix} \quad (3.39)$$



Burada  $\beta$  ve  $\lambda$  katsayıları sırasıyla  $\omega_n$  ve  $\sqrt{\omega_n^2 - k_0}$  biçimindedir. Basit çözümden farklı bir çözüm için katsayılar matrisinin determinantı sıfır olmalıdır. Bu takdirde, kritik aksenal yük ve doğal frekans, yay katsayısına ve konuma bağlı olarak hesaplanır. Daha sonra ise keyfi sabitler belirlenerek mod yapıları bulunur.

$\varepsilon$  mertebesindeki çözüm için (3.31)-(3.32) denklemi (3.27)-(3.28) denkleminde yerine yazılırsa,

$$y_{11}^{iv} + D_0^2 y_{11} = -(\mu i \omega_n A(T_1) X_{1n}(x) + 2i \omega_n X_{1n}(x) D_1 A(T_1)) e^{i \omega_n T_0} + \frac{f(x)}{2} e^{i \Omega T_0} + k.e. \quad (3.40)$$

$$y_{21}^{iv} + D_0^2 y_{21} + k_0 y_{21} = -(\mu i \omega_n A(T_1) X_{2n}(x) + 2i \omega_n X_{2n}(x) D_1 A(T_1)) e^{i \omega_n T_0} + \frac{f(x)}{2} e^{i \Omega T_0} + k.e. \quad (3.41)$$

elde edilir. Buna göre, (3.40)-(3.41) denklemlerinin çözümü

$$y_{11} = \varphi_1(x, T_1) e^{i \omega_n T_0} + W_1(x, T_0, T_1) + k.e. \quad (3.42)$$

$$y_{21} = \varphi_2(x, T_1) e^{i \omega_n T_0} + W_2(x, T_0, T_1) + k.e. \quad (3.43)$$

olarak bulunur.

### 3.1.2. $\Omega$ 'nin $\omega_n$ 'den ( $\Omega \neq \omega_n$ ) uzak olduğu durum

$\Omega$ 'nin  $\omega_n$ 'den ( $\Omega \neq \omega_n$ ) uzak olduğu durum için (3.40)-(3.41) denklemi aşağıdaki gibidir.

$$y_{11}^{iv} + D_0^2 y_{11} = -(\mu i \omega_n A(T_1) X_{1n}(x) + 2i \omega_n X_{1n}(x) D_1 A(T_1)) e^{i \omega_n T_0} + k.e. + S.O.T. \quad (3.44)$$

$$y_{21}^{iv} + D_0^2 y_{21} + k_0 y_{21} = -(\mu i \omega_n A(T_1) X_{2n}(x) + 2i \omega_n X_{2n}(x) D_1 A(T_1)) e^{i \omega_n T_0} + k.e. + S.O.T. \quad (3.45)$$

(3.42)-(3.43) denklemleri (3.44)-(3.45) denklemlerinde yerine yazılırsa,

$$\varphi_1^{iv} - \varphi_1 \omega_n^2 = -\mu i \omega_n A(T_1) X_{1n}(x) - 2i \omega_n X_{1n}(x) D_1 A(T_1) \quad (3.46)$$

$$\varphi_2^{iv} - \varphi_2 \omega_n^2 + k_0 \varphi_2 = -\mu i \omega_n A(T_1) X_{2n}(x) - 2i \omega_n X_{2n}(x) D_1 A(T_1) \quad (3.47)$$

bulunur. Burada homojen kısmın basit olmayan bir çözümü olduğundan, (3.46)-(3.47) denklemlerine çözülebilirlik şartı uygulanırsa,

$$\frac{\mu}{2} A(T_1) \int_0^{\eta} X_{1n}^2(x) dx + D_1 A(T_1) \int_0^{\eta} X_{1n}^2(x) dx = 0 \quad (3.48)$$

$$\frac{\mu}{2}A(T_1)\int_{\eta}^L X_{2n}^2(x)dx + D_1A(T_1)\int_{\eta}^L X_{2n}^2(x)dx = 0 \quad (3.49)$$

elde edilir. Burada

$$\int_0^{\eta} X_{1n}^2(x)dx + \int_{\eta}^L X_{2n}^2(x)dx = 0 \quad (3.50)$$

normalizasyonu ile

$$\alpha_{3n} = \frac{\mu}{2} \quad (3.51)$$

olmak üzere,

$$D_1A_n + A_n\alpha_{3n} = 0 \quad (3.52)$$

bulunur. Böylece çözüm

$$A_n = ce^{-\alpha_{3n}T_1} \quad (3.53)$$

elde edilir. Burada  $c$  keyfi bir sabit katsayı olup,  $\alpha_{3n}$  reel ve pozitiftir. Bu takdirde, sistemin genliği hızla azalır ve çözüm kararlıdır.

### 3.1.3 $\Omega$ 'nin $\omega_n$ ( $\Omega \cong \omega_n$ ) olduğu durum

Bu kısımda, dış zorlama kuvvetine ait frekansın, sistemin doğal frekanslarından birine eşit veya çok yakın olmasıyla meydana gelen baskın rezonans durumu incelenecektir. Bu durumda, sisteme ait genlik değerinde teorik olarak sonsuza giden bir artış olur.  $\Omega \cong \omega_n$  koşulu (3.40)-(3.41) denkleminde uygulanırsa,

$$y_{11}^{iv} + D_0^2 y_{11} = -(\mu i \omega_n A(T_1) X_{1n}(x) + 2i \omega_n X_{1n}(x) D_1 A(T_1)) e^{i\omega_n T_0} + \frac{f(x)}{2} e^{i\Omega T_0} + k.e. + S.O.T. \quad (3.54)$$

$$y_{21}^{iv} + D_0^2 y_{21} + k_0 y_{21} = -(\mu i \omega_n A(T_1) X_{2n}(x) + 2i \omega_n X_{2n}(x) D_1 A(T_1)) e^{i\omega_n T_0} + \frac{f(x)}{2} e^{i\Omega T_0} + k.e. + S.O.T. \quad (3.55)$$

elde edilir. (3.42)-(3.43) denklemi (3.54)-(3.55) denklemde yerine yazılırsa,

$$\varphi_1^{iv} - \varphi_1 \omega_n^2 = -\mu i \omega_n A(T_1) X_{1n}(x) - 2i \omega_n X_{1n}(x) D_1 A(T_1) + \frac{f(x)}{2} e^{i(\Omega - \omega_n) T_0} \quad (3.56)$$

$$\varphi_2^{iv} - \varphi_2 \omega_n^2 + k_0 \varphi_2 = -\mu i \omega_n A(T_1) X_{2n}(x) - 2i \omega_n X_{2n}(x) D_1 A(T_1) + \frac{f(x)}{2} e^{i(\Omega - \omega_n) T_0} \quad (3.57)$$

bulunur. Burada homojen kısmın basit olmayan bir çözümü olduğundan, (3.56)-(3.57) denklemlerine çözülebilirlik şartı uygulanırsa

$$\frac{\mu}{2} A(T_1) \int_0^{\eta} X_{1n}^2(x) dx + D_1 A(T_1) \int_0^{\eta} X_{1n}^2(x) dx + \frac{i}{2\omega_n} \int_0^{\eta} \frac{f(x)}{2} X_{1n}^2(x) e^{i(\Omega - \omega_n)T_0} dx = 0 \quad (3.58)$$

$$\frac{\mu}{2} A(T_1) \int_{\eta}^L X_{2n}^2(x) dx + D_1 A(T_1) \int_{\eta}^L X_{2n}^2(x) dx + \frac{i}{2\omega_n} \int_{\eta}^L \frac{f(x)}{2} X_{2n}^2(x) e^{i(\Omega - \omega_n)T_0} dx = 0 \quad (3.59)$$

elde edilir. Bu takdirde, baskın rezonans koşulu

$$\Omega_2 = \omega_n + \varepsilon \sigma_n \quad (3.60)$$

olmak üzere, (3.58)-(3.59) denklemlerinde yerine yazılırsa,

$$\frac{\mu}{2} A(T_1) \int_0^{\eta} X_{1n}^2(x) dx + D_1 A(T_1) \int_0^{\eta} X_{1n}^2(x) dx + \frac{i}{2\omega_n} e^{i\sigma_n T_0} \int_0^{\eta} \frac{f(x)}{2} X_{1n}^2(x) dx = 0 \quad (3.61)$$

$$\frac{\mu}{2} A(T_1) \int_{\eta}^L X_{2n}^2(x) dx + D_1 A(T_1) \int_{\eta}^L X_{2n}^2(x) dx + \frac{i}{2\omega_n} e^{i\sigma_n T_0} \int_{\eta}^L \frac{f(x)}{2} X_{2n}^2(x) dx = 0 \quad (3.62)$$

bulunur. Böylece,

$$\int_0^{\eta} X_{1n}^2(x) dx + \int_{\eta}^L X_{2n}^2(x) dx = 0 \quad (3.63)$$

normalizasyonu ile

$$\alpha_{3n} = \frac{\mu}{2} \text{ ve } \alpha_{1n} = \frac{1}{2\omega_n} \left( \int_0^{\eta} f(x) X_{1n} dx + \int_{\eta}^L f(x) X_{2n}(x) dx \right) \quad (3.64)$$

olmak üzere, genlik denklemi

$$D_1 A_n + \alpha_{3n} A_n = \frac{1}{2} i \alpha_{1n} e^{i\sigma_n T_1} \quad (3.65)$$

olarak elde edilir.  $\alpha_{1n}$  katsayısındaki belirli integrali hesaplamak için, Simpson

metodu kullanılır. Kutupsal formda tanımlanan  $A_n = \frac{1}{2} a_n(T_1) e^{i\beta_n(T_1)}$  ifadesi (3.65)

denkleminde yerine yazılırsa,

$$\frac{1}{2} \frac{da_n(T_1)}{dT_1} e^{i\beta_n(T_1)} + \frac{i}{2} a_n(T_1) \frac{d\beta_n(T_1)}{dT_1} e^{i\beta_n(T_1)} + \alpha_{3n} \frac{1}{2} a_n(T_1) e^{i\beta_n(T_1)} - \frac{1}{2} i \alpha_{1n} e^{i\sigma_n T_1} = 0 \quad (3.66)$$

bulunur. Elde edilen denklem  $e^{i\beta_n(T_1)}$  ile çarpılırsa,

$$\frac{da_n(T_1)}{dT_1} + i a_n(T_1) \frac{d\beta_n(T_1)}{dT_1} + \alpha_{3n} a_n(T_1) + i \alpha_{1n} e^{i(\sigma_n T_1 - \beta_n(T_1))} = 0 \quad (3.67)$$

formuna indirgenir.  $\gamma_n = \sigma_n T_1 - \beta_n(T_1)$  yerine yazılır denklem düzenlenirse,

$$\frac{da_n(T_1)}{dT_1} + ia_n(T_1) \frac{d\beta_n(T_1)}{dT_1} + \alpha_{3n} a_n(T_1) + i\alpha_{1n} e^{i\gamma_n} = 0 \quad (3.68)$$

bulunur. Eğer (3.68) denklemini reel ve imajiner kısımlara ayrıştırılırsa,

$$\text{Re: } \frac{da_n}{dT_1} + \alpha_{3n} a_n = -\alpha_{1n} \sin \gamma_n \quad (3.69)$$

$$\text{Im: } \sigma_n a_n - \frac{d\gamma_n}{dT_1} a_n = \alpha_{1n} \cos \gamma_n \quad (3.70)$$

elde edilir. Kararlı hal çözümleri için  $da_n/dT_1$  ve  $d\gamma_n/dT_1$  ifadeleri sıfıra eşitlenir ve (3.69)-(3.70) denklemlerinde yerine yazılırsa,

$$\text{Re: } \alpha_{3n} a_n = -\alpha_{1n} \sin \gamma_n \quad (3.71)$$

$$\text{Im: } \sigma_n a_n = \alpha_{1n} \cos \gamma_n \quad (3.72)$$

bulunur. Bu denklemlerden  $\gamma_n$  ifadesi yok edilirse,  $\sigma_n$  ayar parametresi

$$\sigma_n = \mp \frac{1}{a_n} \sqrt{\alpha_{1n}^2 - a_n^2 \alpha_{3n}^2} \quad (3.73)$$

biçiminde elde edilir.

### 3.1.4. Sayısal sonuçlar

Klasik yöntemden farklı bir teknik olarak burada pertürbasyon-sonlu farklar açılımı kullanılmaktadır. Sonlu fark açılımında  $N$  toplam grid noktası (nod) sayısını göstermektedir. Aşağıdaki tabloda farklı yay katsayısı ve lokasyonu ile elde edilmiş kritik aksenal yük değerlerinin ve  $\alpha_{1n}$  katsayılarının karşılaştırılması verilmiştir.

**Tablo 3.1.1.**  $N = 200$  ve  $f(x) = 5$  için klasik çözüm (3.1.1) ve **mevcut yöntem (kahn)** ile kritik aksenal yük değerlerinin ( $\alpha_{1n}$ ) ve frekansların karşılaştırılması

$\eta$	$k = 50$				$k = 100$			
	$\omega$		$\alpha_1$		$\omega$		$\alpha_1$	
20	12.1279	<b>12.1414</b>	2.6247	<b>2.6215</b>	14.0271	<b>14.0466</b>	2.2694	<b>2.2659</b>
50	11.9506	<b>11.9589</b>	2.6644	<b>2.6626</b>	13.7160	<b>13.7210</b>	2.3223	<b>2.3209</b>
100	11.0497	<b>11.0718</b>	2.8804	<b>2.8743</b>	12.0898	<b>12.1198</b>	2.6318	<b>2.6251</b>

**Tablo 3.1.2.**  $N = 200$  ve  $f(x) = x$  için klasik çözüm (3.1.1) ve **mevcut yöntem (kahn)** ile kritik aksenal yük değerlerinin ( $\alpha_{1n}$ ) ve frekansların karşılaştırılması

$\eta$	$k = 50$				$k = 100$			
	$\omega$		$\alpha_1$		$\omega$		$\alpha_1$	
20	12.1279	<b>12.1433</b>	52.4824	<b>52.4315</b>	14.0271	<b>14.0429</b>	45.3679	<b>45.3391</b>
50	11.9506	<b>11.9541</b>	53.1476	<b>53.1306</b>	13.7160	<b>13.7270</b>	46.1972	<b>46.1982</b>
100	11.0497	<b>11.0664</b>	57.1944	<b>57.1477</b>	12.0898	<b>12.1071</b>	51.8812	<b>51.8427</b>

Bu sonuçlar klasik yöntem ile sonlu farklarla elde edilen sonuçların birbirine çok yakın olduğunu göstermektedir.

### 3.2. Parametrik Aksenal Kuvvete Maruz Düşey Olarak Yerleştirilmiş Çoklu Yay Mesnetli Kirişler

Bu bölümde lineer elastik yaylarla mesnetlenmiş kiriş ele alınır [2].  $M$  tane lineer elastik yaylı süreksiz fonksiyonlar içeren hareket denklemi ve sınır şartları

$$EI\hat{y}^{iv} + \hat{P}\hat{y}'' + \sum_{j=1}^M \hat{k}_j \delta(\hat{x} - \hat{\eta}_j) \hat{y} + m\ddot{\hat{y}} + \hat{\mu}\dot{\hat{y}} = 0 \quad (3.74)$$

$$\hat{y}(0, \hat{t}) = \hat{y}''(0, \hat{t}) = 0 \quad \text{ve} \quad \hat{y}(\ell, \hat{t}) = \hat{y}''(\ell, \hat{t}) = 0 \quad (3.75)$$

şeklinindedir. (3.74) denkleminde verilen  $\hat{y}(\hat{x}, \hat{t})$  enine deplasmanı,  $\hat{x}$  konumu,  $\hat{t}$  zamanı gösterir.  $E$  elastisite modülü ve  $I$  atalet momentidir.  $m$  birim kesit kütlesi,  $\ell$  iki mesnet arası uzunluk ve  $\varepsilon$  çok küçük bir parametredir.  $\hat{P}(\hat{t})$  aksenal harmonik basınç yükü olup,  $\hat{P} = \hat{P}_0 + \varepsilon \hat{P}_1 \cos \Omega \hat{t}$  ile tanımlanır.  $\hat{\mu}$  lineer viskoz sönüm katsayısını,  $\hat{k}$  ise yay sabitini temsil eder.  $\langle \hat{x} - \hat{\eta}_j \rangle^{-1}$  singülerite fonksiyonuna karşılık gelen Dirac delta fonksiyonu  $\delta$  ile gösterilir. Çeşitli yük ve mesnet şartlarına sahip kirişlerin deplasmanlarını hesaplamak için süreksizlik fonksiyonları kullanılır. Literatürde yaygın olarak bilinen boyutsuz terimler

$$y = \frac{\hat{y}}{\ell}, \quad x = \frac{\hat{x}}{\ell}, \quad t = \frac{\hat{t}}{\ell^2} \sqrt{\frac{EI}{m}} \quad (3.76)$$

olmak üzere, bu değerler (3.74)-(3.75) denklemlerinde yerine yazılır,

$$\frac{EI}{\ell^3} \frac{\partial^4 y}{\partial x^4} + \frac{\hat{P}}{\ell} \frac{\partial^2 y}{\partial x^2} + \sum_{j=1}^M \hat{k}_j \delta(x\ell - \hat{\eta}_j) y\ell + \frac{EI}{\ell^3} \frac{\partial^2 y}{\partial t^2} + \hat{\mu} \frac{\sqrt{EI}}{\ell\sqrt{Im}} \frac{\partial y}{\partial t} = 0 \quad (3.77)$$

denklemin her iki tarafı  $\frac{\ell^3}{EI}$  ile çarpılırsa,

$$\frac{\partial^4 y}{\partial x^4} + \frac{\hat{P}\ell^2}{EI} \frac{\partial^2 y}{\partial x^2} + \frac{\ell^3}{EI} \sum_{j=1}^M \hat{k}_j \delta(x\ell - \hat{\eta}_j) y\ell + \frac{\partial^2 y}{\partial t^2} + \hat{\mu} \frac{\ell^2}{\sqrt{EI}m} \frac{\partial y}{\partial t} = 0 \quad (3.78)$$

bulunur. Buna göre, yeni boyutsuz terimler

$$\eta_j = \frac{\hat{\eta}_j}{\ell}, k_j = \frac{\hat{k}_j \ell^3}{EI}, P = \frac{\hat{P}\ell^2}{EI}, \mu = \frac{\hat{\mu}\ell^2}{\sqrt{EI}m} \quad (3.79)$$

olmak üzere, (3.74)-(3.75) denklemini ve sınır şartları

$$y^{iv} + Py'' + \sum_{j=1}^M k_j \delta(x - \eta_j) y + \ddot{y} + \mu\dot{y} = 0 \quad (3.80)$$

$$y(0, t) = y''(0, t) = 0 \text{ ve } y(1, t) = y''(1, t) = 0. \quad (3.81)$$

olarak elde edilir.

Şimdi bir tane yay ve iki açıklığa sahip elastik kirişin dinamik analizini göz önüne alalım. Burada  $M = 1$  için, (3.80) denklemini

$$y^{iv} + Py'' + k\delta(x - \eta) y + \ddot{y} + \mu\dot{y} = 0 \quad (3.82)$$

haline gelir. Böylece genel modelde verilen operatörler

$$L_1[y] = y^{iv} + P_0 y'' + k\delta(x - \eta) y \quad (3.83a)$$

$$L_2[y] = P_1 y'' \quad (3.83b)$$

$$L_3[\dot{y}] = \mu\dot{y} \quad (3.83c)$$

$$a(x) = 1 \text{ ve } \Omega_1 = \Omega \quad (3.83d)$$

biçimindedir. Bu terimler (2.11) denkleminde yerine yazılırsa,

$$X_n^{iv} + P_0 X_n'' + k X_n \delta(x - \eta) - \omega_n^2 X_n = 0 \quad (3.84)$$

$$X_n(0) = X_n''(0) = 0 \text{ ve } X_n(1) = X_n''(1) = 0 \quad (3.85)$$

bulunur. Buradan (3.84) denkleminin (2.17) denkleminde yer alan terimlere karşılık gelen katsayılarının

$$\begin{aligned} b_{0,j} &= 1, & b_{1,j} &= (P_0 \Delta x^2 - 4), \\ b_{2,j} &= 6 - 2P_0 \Delta x^2 + (k\delta(x - \eta) - \omega_n^2) \Delta x^4, \\ b_{3,j} &= (P_0 \Delta x^2 - 4), & b_{4,j} &= 1 \end{aligned} \quad (3.86)$$



$$y_1^{iv} + Py_1'' + \ddot{y}_1 + \mu\dot{y}_1 = 0 \quad (3.91a)$$

$$y_2^{iv} + Py_2'' + \ddot{y}_2 + \mu\dot{y}_2 = 0 \quad (3.91b)$$

olmak üzere, sınır şartları

$$y_1(0,t) = y_1''(0,t) = 0 \text{ ve } y_2(1,t) = y_2''(1,t) = 0 \quad (3.92)$$

ve geçiş şartları

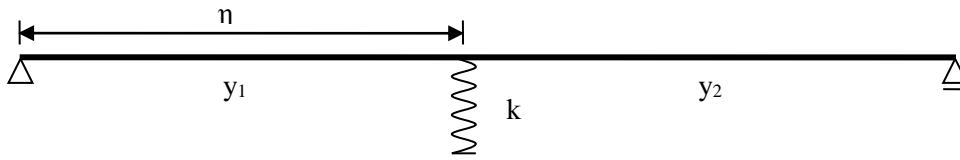
$$y_1(\eta,t) = y_2(\eta,t) \quad (3.93a)$$

$$y_1'(\eta,t) = y_2'(\eta,t) \quad (3.93b)$$

$$EIy_1''(\eta,t) = EIy_2''(\eta,t) \quad (3.93c)$$

$$y_1''' + Py_1' - ky_1 = y_2''' + Py_2' \quad (3.93d)$$

biçimindedir.



**Şekil 3.1.** İki açıklıklı tek yaylı elastik kiriş

Burada  $\alpha_{2n}$  katsayısı

$$\alpha_{2n} = -i \frac{P_1}{4\omega_n} \int_0^\eta X_{1n} X_{1n}'' dx + \int_\eta^1 X_{2n} X_{2n}'' dx. \quad (3.94)$$

olarak hesaplanır [2]. Sonlu fark açılımında  $N$  toplam bölünme noktası sayısını göstermek üzere, aşağıda verilen Tablo 3.2.1, Tablo 3.2.2 ve Tablo 3.2.3' de farklı  $k$  yay katsayısı ve  $\eta$  yay lokasyonu için elde edilen kritik aksenal yük değerlerinin karşılaştırılması verilmiştir.

**Tablo 3.2.1.**  $N = 200$  için klasik çözümden [2] elde edilen aksenal yük değerlerinin mevcut yöntemle (kalın) karşılaştırılması

$\eta \backslash k$	100	1000
0.1	11.6355 <b>11.6353</b>	18.6836 <b>18.6820</b>
0.3	20.4587 <b>20.4582</b>	30.7234 <b>30.7207</b>
0.5	29.2960 <b>29.2957</b>	39.4784 <b>39.4752</b>



**Tablo 3.2.2.**  $N = 200$  ve  $P_0 = 10$  için klasik çözümden [2] elde edilen doğal frekansların **mevcut yöntemle (kalın)** karşılaştırılması

$\eta \backslash k$	100		1000	
0.1	4.0239	<b>4.0236</b>	9.7712	<b>9.7702</b>
0.3	10.4605	<b>10.4602</b>	19.5262	<b>19.5244</b>
0.5	13.8591	<b>13.8587</b>	34.1140	<b>34.1107</b>

**Tablo 3.2.3.**  $P_0 = 10$ ,  $P_1 = 1$  ve  $N = 200$  için klasik çözümden [2] elde edilen  $\alpha_{2n}$  katsayısının **mevcut yöntemle (kalın)** karşılaştırılması

$\eta \backslash k$	100		1000	
0.1	-0.6150	<b>-0.6150</b>	-0.2778	<b>-0.2769</b>
0.3	-0.2466	<b>-0.2467</b>	-0.2212	<b>-0.2295</b>
0.5	-0.1792	<b>-0.1792</b>	-0.0984	<b>-0.0967</b>

Tablodaki sayısal değerler klasik yöntem ile pertürbasyon-sonlu fark tekniğinden elde edilen sonuçların birbirine çok yakın olduğunu göstermektedir.

### 3.3. Kütle-Kiriş Sistemi

Euler-Bernoulli kirişini üzerine konsantre kütleler yerleştirerek kütle-yay sistemi olarak göz önüne alalım. Burada  $\rho$  yoğunluk,  $A$  enine kesit alanı,  $E$  elastisite modülü,  $I$  atalet momenti,  $\bar{M}_j$  konsantre kütle,  $\hat{\mu}$  viskoz sönüm katsayısı,  $\hat{g}$  dış zorlama genliği ve  $\hat{\Omega}$  dış zorlama frekansı, olmak üzere hareket denklemi [35],

$$\left[ \rho A + \bar{M}_j \delta(\hat{x} - x_j) \right] \ddot{\hat{w}} + EI \hat{w}^{iv} + \hat{\mu} \dot{\hat{w}} - \hat{g}(\hat{x}) \cos \hat{\Omega} \hat{t} = 0 ; \quad j = 1, 2, \dots, n \quad (3.95)$$

$$\hat{w}(0, \hat{t}) = \hat{w}''(0, \hat{t}) = 0, \quad \hat{w}(\ell, \hat{t}) = \hat{w}''(\ell, \hat{t}) = 0. \quad (3.96)$$

biçiminde elde edilir. Malzeme yapısı ve şekil bağımlılığından kurtulmak için (3.95) denklemi boyutsuzlaştırılır. Literatürde yaygın olarak bilinen boyutsuz terimler

$$w = \frac{\hat{w}}{\ell}, \quad x = \frac{\hat{x}}{\ell}, \quad \eta_j = \frac{x_j}{\ell}, \quad t = \frac{\hat{t}}{\ell^2} \sqrt{\frac{EI}{\rho A}} \quad (3.97)$$

olmak üzere, (3.95) denkleminde yerine yazılırsa,

$$\left[ \rho A + \bar{M}_j \frac{\delta(x - \eta_j)}{\ell} \right] \frac{EI}{\ell^3 \rho A} \frac{\partial^2 w}{\partial t^2} + \frac{EI}{\ell^3} \frac{\partial^4 w}{\partial x^4} + \hat{\mu} \frac{\sqrt{EI}}{\ell \sqrt{\rho A}} \frac{\partial w}{\partial t} - \hat{g}(\hat{x}) \cos \hat{\Omega} t \ell^2 \sqrt{\frac{\rho A}{EI}} = 0 \quad (3.98)$$

elde edilir. (3.98) denklemin her iki tarafı  $\frac{\ell^3}{EI}$  ile çarpılırsa,

$$\left[ \rho A + \bar{M}_j \frac{\delta(x - \eta_j)}{\ell} \right] \frac{1}{\rho A} \frac{\partial^2 w}{\partial t^2} + \frac{\partial^4 w}{\partial x^4} + \hat{\mu} \frac{\ell^2}{\sqrt{\rho A EI}} \frac{\partial w}{\partial t} - \frac{\ell^3}{EI} \hat{g}(\hat{x}) \cos \hat{\Omega} t \ell^2 \sqrt{\frac{\rho A}{EI}} = 0 \quad (3.99)$$

bulunur. Böylece yeni boyutsuz terimler

$$\alpha_j = \bar{M}_j / \rho A \ell, \quad \Omega = \hat{\Omega} \ell^2 / \sqrt{EI / \rho A}, \quad \varepsilon g = \hat{g} \ell^3 / EI, \quad \varepsilon \mu = \hat{\mu} \ell^2 / \sqrt{EI \rho A} \quad (3.100)$$

olacak şekilde (3.95) denklemini ve sınır şartları

$$\left[ 1 + \alpha_j \delta(x - \eta_j) \right] \ddot{w} + w^{iv} + \mu \dot{w} - g(x) \cos \Omega t = 0 \quad (3.101)$$

$$w(0, t) = w''(0, t) = 0, \quad w(1, t) = w''(1, t) = 0 \quad (3.102)$$

biçimindedir. Burada  $\alpha$  kütle kiriş sistemine yerleştirilen kütle oranıdır. Böylece genel modele karşılık gelen operatörler

$$L_1[y] = w^{iv} \quad (3.103a)$$

$$L_2[y] = 0 \quad (3.103b)$$

$$L_3[\dot{y}] = \mu \dot{w} \quad (3.103c)$$

$$a(x) = 1 + \alpha_j \delta(x - \eta_j) \quad (3.103d)$$

$$\Omega_2 = \Omega \text{ ve } F(x) = -g(x). \quad (3.103e)$$

biçimindedir. Bu terimler (2.11) denkleminde yerine yazılırsa,

$$X_n^{iv} - \left( 1 + \alpha_j \delta(x - \eta_j) \right) \omega_n^2 X_n = 0 \quad (3.104)$$

$$X_n(0) = X_n''(0) = 0 \text{ ve } X_n(1) = X_n''(1) = 0 \quad (3.105)$$

bulunur. Ardından, (3.104) denkleminin (2.17) denklemindekilere karşılık gelen katsayıları

$$b_{0,j} = 1, \quad b_{1,j} = -4, \quad b_{2,j} = 6 - \omega_n^2 \left( 1 + \alpha_j \delta(x - \eta_j) \right) \Delta x^4$$



**Tablo 3.3.1** Tek kütle için, farklı kütle oranı ve konumu için ilk üç doğal frekansın klasik çözüm [35] ve **mevcut yöntemle (kalın)** karşılaştırılması ( $N = 100$ )

$\alpha$	$\eta$	$\omega_1$		$\omega_2$		$\omega_3$	
		$\omega_1$	Ref.36	$\omega_2$	Ref.36	$\omega_3$	Ref.36
1	0.0	<b>9.8688</b>	9.8695	<b>39.4654</b>	39.4784	<b>88.7607</b>	88.8264
	0.1	<b>8.9954</b>	8.9962	<b>29.8755</b>	29.8891	<b>66.0088</b>	66.0691
	0.2	<b>7.4533</b>	7.4541	<b>26.9359</b>	26.9462	<b>73.4569</b>	73.5140
	0.3	<b>6.3941</b>	6.3946	<b>29.7397</b>	29.7503	<b>86.6638</b>	86.7293
	0.4	<b>5.8463</b>	5.8468	<b>35.2250</b>	35.2374	<b>79.9135</b>	79.9788
	0.5	<b>5.6791</b>	5.6795	<b>39.4654</b>	39.4784	<b>67.8305</b>	67.8883
10	0.0	<b>9.8688</b>	9.8695	<b>39.4654</b>	39.4785	<b>88.7607</b>	88.8264
	0.1	<b>5.3312</b>	5.3322	<b>19.8249</b>	19.8959	<b>59.0482</b>	59.0995
	0.2	<b>3.2594</b>	3.2598	<b>22.0495</b>	22.0545	<b>70.7174</b>	70.7723
	0.3	<b>2.5276</b>	2.5279	<b>26.7608</b>	26.7706	<b>86.0802</b>	86.1462
	0.4	<b>2.2250</b>	2.2252	<b>33.6682</b>	33.6806	<b>77.2029</b>	77.2690
	0.5	<b>2.1393</b>	2.1395	<b>39.4654</b>	39.4785	<b>62.3954</b>	62.4517

**Tablo 3.3.2.** İki kütle için, farklı kütle oranı ve konumuna karşılık gelen doğal frekansların klasik çözüm [36] ve **mevcut yöntemle (kalın)** karşılaştırılması ( $N = 100$ )

				$\omega_1$		$\omega_2$		$\omega_3$		$\omega_4$	
$\alpha_1$	$\alpha_2$	$\eta_1$	$\eta_2$	$\omega_1$	Ref.37	$\omega_2$	Ref.37	$\omega_3$	Ref.37	$\omega_4$	Ref.37
1	1	0.1	0.3	<b>6.118</b>	6.118	<b>27.536</b>	26.506	<b>55.338</b>	55.412	<b>98.966</b>	99.097
			0.7	<b>6.183</b>	6.183	<b>22.588</b>	22.598	<b>60.165</b>	60.226	<b>124.852</b>	125.021
		0.5	0.3	<b>4.730</b>	4.785	<b>25.116</b>	19.802	<b>60.830</b>	45.252	<b>141.073</b>	95.238
			0.7	<b>4.730</b>	4.730	<b>25.116</b>	25.128	<b>60.830</b>	60.883	<b>141.073</b>	141.289
1	10	0.1	0.3	<b>2.509</b>	2.509	<b>26.066</b>	26.075	<b>50.993</b>	51.069	<b>94.388</b>	94.505
			0.7	<b>2.516</b>	2.516	<b>20.052</b>	20.060	<b>58.763</b>	58.824	<b>124.117</b>	124.285
		0.5	0.7	<b>2.387</b>	2.387	<b>17.916</b>	17.925	<b>59.518</b>	59.569	<b>136.776</b>	136.993
10	1	0.1	0.3	<b>4.513</b>	4.514	<b>18.548</b>	18.563	<b>38.536</b>	38.578	<b>96.578</b>	96.694
			0.7	<b>4.671</b>	4.671	<b>12.423</b>	12.429	<b>50.941</b>	50.992	<b>121.270</b>	121.432
		0.5	0.7	<b>2.078</b>	2.078	<b>22.025</b>	22.036	<b>54.599</b>	54.647	<b>140.648</b>	140.866
10	10	0.1	0.3	<b>2.356</b>	2.357	<b>16.238</b>	16.257	<b>29.949</b>	29.975	<b>92.758</b>	92.863
			0.7	<b>2.412</b>	2.413	<b>8.845</b>	8.850	<b>48.883</b>	48.883	<b>120.858</b>	121.018
		0.5	0.7	<b>1.677</b>	1.677	<b>9.806</b>	9.812	<b>53.472</b>	53.516	<b>136.317</b>	136.535

**Tablo 3.3.3.** Üç kütle için, farklı kütle oranı ve konumuna karşılık gelen doğal frekansların klasik çözüm [36] ve **mevcut yöntemle (kalın)** karşılaştırılması ( $N = 100$ )

						$\omega_1$		$\omega_2$		$\omega_3$		$\omega_4$	
$\alpha_1$	$\alpha_2$	$\alpha_3$	$\eta_1$	$\eta_2$	$\eta_3$	$\omega_1$	Ref.37	$\omega_2$	Ref.37	$\omega_3$	Ref.37	$\omega_4$	Ref.37
1	1	1	0.1	0.4	0.8	<b>5.130</b>	5.130	<b>18.908</b>	18.915	<b>40.627</b>	40.668	<b>101.805</b>	101.949
1	1	10	0.1	0.4	0.8	<b>3.011</b>	3.011	<b>11.726</b>	11.731	<b>39.407</b>	39.445	<b>98.570</b>	98.713
1	10	1	0.1	0.4	0.8	<b>2.182</b>	2.182	<b>17.179</b>	17.186	<b>37.318</b>	37.356	<b>99.182</b>	99.323
10	1	1	0.1	0.4	0.8	<b>4.141</b>	4.142	<b>13.012</b>	13.021	<b>25.934</b>	25.958	<b>99.303</b>	99.439
10	10	10	0.1	0.4	0.8	<b>1.864</b>	1.864	<b>6.672</b>	6.675	<b>14.144</b>	14.161	<b>93.644</b>	93.774
1	1	1	0.2	0.5	0.7	<b>4.411</b>	4.411	<b>18.193</b>	18.201	<b>39.151</b>	39.189	<b>137.782</b>	137.980
1	1	10	0.2	0.5	0.7	<b>2.350</b>	2.350	<b>13.463</b>	13.469	<b>34.966</b>	35.001	<b>134.570</b>	134.770
1	10	1	0.2	0.5	0.7	<b>2.048</b>	2.048	<b>18.178</b>	18.185	<b>29.348</b>	29.378	<b>137.760</b>	137.958
10	1	1	0.2	0.5	0.7	<b>2.857</b>	2.857	<b>10.767</b>	10.771	<b>35.346</b>	35.379	<b>137.078</b>	137.274
10	10	10	0.2	0.5	0.7	<b>1.540</b>	1.540	<b>6.381</b>	6.383	<b>13.564</b>	13.578	<b>134.055</b>	134.252

Tablo 3.3.1 de görüldüğü gibi doğal frekansın nümerik sonuçları klasik çözüm ile çok yakındır. Tablo 3.3.2’de iki konsantre kütle için ve Tablo 3.3.3’de üç konsantre kütle için de benzer sonuçlar elde edilir.

## IV. BÖLÜM

### SONUÇ VE ÖNERİLER

Bu çalışmada, değişken malzeme, kesit ya da diğer bazı süreksizliklere sahip olabilen yapı elemanlarının dinamik davranışını analiz etmek için bir genel model göz önüne alınmıştır. Çözüm tekniği olarak ise hem çok zaman ölçekli metot hem de sonlu farklar yöntemi kullanılmıştır. Çözülebilirlik şartından gelen integrallerin yaklaşık hesabında ise nümerik integrasyon kurallarından Simpson yöntemi kullanılmıştır. Burada klasik yaklaşımdan farklı olarak süreksizlik ihtiva eden her bir açıklık için ayrı denklem yazmak yerine, tüm süreksizlikleri ihtiva eden süreksizlik fonksiyonuna sahip tek bir denklem ele alınmıştır. Bu ise pratikte büyük fayda sağlar. Genel olarak literatürde süreksizlik oluşturan her bir açıklık için ayrı denklem yazıldığından karşımıza açıklık sayısı kadar denklemden meydana gelen bir sistem çıkmaktadır. Klasik yöntem olarak adlandırdığımız bu teknikte sistem çözümü yapıldığından bazı zorluklarla karşılaşılır. Bu çalışmada ise herhangi bir yapısal elemanda meydana gelen tüm süreksizlikler tek bir denklemlerle modellendiği için çözümde büyük kolaylık sağlamaktadır. Mevcut tekniğin doğruluğunu göstermek için genel çözüm prosedürü Winkler tipi elastik temel üzerindeki kiriş, çoklu lineer elastik yaylı kiriş ve kiriş kütle sistemi gibi üç farklı probleme uygulanmıştır. Göz önüne alınan modeller ayrıca klasik yöntemle de çözülerek elde edilen sayısal değerler önerilen teknikte bulunanlarla kıyaslanmıştır. Yapılan karşılaştırmalar sonucunda klasik yaklaşım ile yeni yöntemin uygulanması neticesinde elde edilen sonuçların birbirine çok yakın olduğu görülmüştür. Ayrıca bu yaklaşım konumsal tanım bölgesinde sürekli değişim içeren dinamik problemlere de uygulanabilir.

## KAYNAKLAR

- [1] Dönmez Demir, D. Kesirli Türevlere Sahip Sürekli Ortamların Dinamik Analizi. Celal Bayar Üniversitesi, Fen Bilimleri Enstitüsü, Matematik Anabilim Dalı, Manisa, 2012 (Doktora Tezi).
- [2] Sınır, B.G., Sınır, S. Eksenel Parametrik Zorlamalı Çok Yaylı Kirişlerin Yeni Bir Yaklaşımla Dinamik Analizi. XVII. Ulusal Mekanik Kongresi, 6-9 Eylül, 2011, Fırat Üniversitesi, Elazığ, Türkiye.
- [3] Naguleswaran, S. Transverse vibration and stability of an Euler–Bernoulli beam with step change in cross-section and in axial force *Journal of Sound and Vibration* 270, 1045–1055, 2004
- [4] Low, K.H. On the methods to derive frequency equations of beams carrying multiple masses *International Journal of Mechanical Sciences* 43, 871-881, 2001
- [5] Özkaya, E., Pakdemirli, M. Non-linear vibrations of a beam-mass system with both ends clamped, *Journal of Sound and Vibration* 221, 491-503, 1999.
- [6] Tekin, A., Özkaya, E., Bağdatlı, S. M. Three-to-one internal resonance in multiple stepped beam systems, *Appl. Math. Mech.-Engl. Ed.* 30(9), 1131–1142, 2009
- [7] Öz, H. R., Özkaya, E. Natural frequencies of beam-mass systems in transverse motion for different end conditions, *Mathematical and Computational Applications*, Vol. 10, No. 3, pp. 369-376, 2005.
- [8] Lakner, M., Plazl, I. The finite differences method for solving systems on irregular shapes. *Computers & Chemical Engineering*, 32(12), 2891–2896, 2008.
- [9] Hassanien, I.A., Salama, A.A. Hosham, H.A. Fourth-order finite difference method for solving Burgers' equation. *Applied Mathematics and Computation*, 170(2), 781-800, 2005.
- [10] Yılmaz, A. Dairesel Plakların Sonlu Farklar ile Çözülmesi, İstanbul Teknik Üniversitesi, Fen Bilimleri Enstitüsü, İnşaat Mühendisliği Anabilim Dalı, İstanbul, 2016. (Yüksek Lisans Tezi)
- [11] Günay, A. Akışkanlar Mekaniğinin Temel Model Problemlerinin Sonlu Fark Çözümleri. Pamukkale Üniversitesi, Fen Bilimleri Enstitüsü, Matematik Anabilim Dalı, Denizli, 2010. (Yüksek Lisans Tezi)
- [12] Özhan, B.B. Kübik Non-Lineer Bir Sürekli Ortam Sisteminin Dış Zorlamalı ve Parametrik Titreşimlerine Genel Bir Yaklaşım. Celal Bayar Üniversitesi, Fen Bilimleri Enstitüsü, Makine Mühendisliği Anabilim Dalı, Manisa, 2009.(Doktora Tezi).
- [13] Pakdemirli, M. Comparison of higher order versions of the method of multiple scales for an odd nonlinearity problem. *Journal of Sound and Vibration*, 2003, 262, 989-998.
- [14] Mahmoodi, S.N., Khadem, S.E., Kokabi, M. Non-linear free vibrations of Kelvin-Voight visco-elastic beam. *International Journal of Mechanical Sciences*, 2007, 49(6), 722-732.
- [15] Fung, R.F., Huang, J.S., Chen, Y.C., Yao, C.M. Nonlinear dynamic analysis of the viscoelastic string with a harmonically varying transport speed. *Computers & Structures*, 1998, 66(6), 777-784.
- [16] Fung, R.F., Huang, J.S., Chen, Y.C. The transient amplitude of the viscoelastic travelling string: An integral constitutive law. *Journal of Sound and Vibration*, 1997, 201(2), 153-167.



- [17] Pakdemirli, M. A comparison of two perturbation methods for vibrations of systems with quadratic and cubic nonlinearities. *Mechanics Research Communications*, 1994, 21(2), 203-208.
- [18] Pakdemirli, M., Boyacı, H. Comparison of direct perturbation methods with discretization–perturbation methods for non-linear vibrations. *Journal of Sound and Vibration*, 1995, 186(5), 837-845.
- [19] Boyacı, H. Pakdemirli, M. A comparison of different versions of the method of multiple scales for partial differential equations. *Journal of Sound and Vibration*, 1997, 204(4), 595-607.
- [20] Boyacı, H. Sürekli Ortamların Non-Linear Titreşimlerine Genel Bir Yaklaşım, Celal Bayar Üniversitesi, Fen bilimleri Enstitüsü, Makine Mühendisliği Anabilim Dalı, Manisa, 1998 (Doktora Tezi).
- [21] Öz, H.R. Eksenel Hareketli Sürekli Ortam Titreşimleri. Celal Bayar Üniversitesi, Fen Bilimleri Enstitüsü, Makine Mühendisliği Anabilim Dalı, Manisa, 1999, (Doktora Tezi).
- [22] Jiang, W.A., Chen, L.Q., Ding H. Internal resonance in axially loaded beam energy harvesters with an oscillator to enhance the bandwidth. *Nonlinear Dynamics*, 2016, 85(4), 2507-2520.
- [23] Nayfeh, H.A., Emam, S.A. Exact solution and stability of postbuckling configurations of beams. *Nonlinear Dynamics*, 2008, 54(4), 395-408.
- [24] Korovkin, P.P. Linear operators and theory of approximation, Hindustan Pub. Corp., 1960, 38-45.
- [25] Çetin, N. Genelleştirilmiş Meyer-König ve Zeller Operatörlerinin İstatistiksel Yaklaşımı, Gazi Üniversitesi, Fen Bilimleri Enstitüsü, Matematik Anabilim Dalı, Ankara, 2009, (Yüksek Lisans Tezi).
- [26] Beam deflections by discontinuity functions. IAST, Lect12
- [27] Hacıoğlu, M. Tekil Terimli Hiperbolik Denklemlerin Nümerik Çözümleri. Bahçeşehir Üniversitesi, Fen Bilimleri Enstitüsü, Uygulamalı Matematik, İstanbul, 2015, (Yüksek Lisans Tezi).
- [28] Nayfeh, A.H., Introduction to Perturbation Techniques, New York, 388-471, 1981
- [29] Hasçelik, A.İ. Sınır Değer Problemleri I, 2014
- [30] Karagöz, İ. Sayısal Analiz ve Mühendislik Uygulamaları. Nobel Akademik Yayıncılık, Ankara, 2011, 293-301.
- [31] Yıldırım, M. Bazı Ortotropik Plakların Sonlu Farklar Yöntemi ile Çözümü. İstanbul Teknik Üniversitesi, Fen Bilimleri Enstitüsü, İnşaat Mühendisliği, İstanbul, 2007, (Yüksek Lisans Tezi).
- [32] Usta L. Singülerite Fonksiyonlarına Sahip Yapı Dinamiği Problemlerinin Çözümüne Yeni Bir Yaklaşım. Celal Bayar Üniversitesi, Fen Bilimleri Enstitüsü, Matematik Anabilim Dalı, Manisa, 2017 (Yüksek Lisans Tezi).
- [33] [tr.wikipedia.org/wiki/perturbasyon\\_teorisi](http://tr.wikipedia.org/wiki/perturbasyon_teorisi).
- [34] Çetin K., Usta L., Sınır B. G., Effect of soil coefficients and Poisson's ratio on the behavior of modified Euler-Bernoulli beam lying on Winkler foundation, 3rd International Conference on Computational and Experimental Science and Engineering (ICCES-2016), Antalya, Turkey, 19-24 October 2016.
- [35] Özkaya, E. Pakdemirli M, Öz HR. Non-Linear vibrations of a beam-mass system under different boundary conditions. *Journal of Sound and Vibration* 1997; 199 (4): 679-696.

[36] Özkaya, E. Linear transverse vibrations of a simply supported beam carrying concentrated mass. *Mathematical and Computational Applications* 2001; 6 (3): 147-151.



## ÖZGEÇMİŞ

Adı Soyadı : Emine KAHRAMAN  
Doğum Yeri ve Yılı : Liestal, İSVİÇRE, 1988  
Medeni Hali : Evli  
Yabancı Dili : İngilizce  
E-posta : emine.35@hotmail.com

### Eğitim Durumu

Lise : Karşıyaka Gazi Lisesi, 2006  
Lisans : Celal Bayar Üniversitesi, Matematik Bölümü, 2011  
Yüksek Lisans : Celal Bayar Üniversitesi, Matematik Anabilim Dalı, 2018

### Mesleki Deneyim

1. TÜBİTAK PROJESİ Araştırmacı, Celal Bayar Üniversitesi / Hafif eğrili geliştirilmiş Euler-Bernoulli ve Timoshenko kirişinin eğilme, titreşim ve burkulma tepkisi, Yürütücü: B. Gültekin SINIR, Proje No: 214M050.

### Uluslararası Bilimsel Toplantılarda Sunulan ve Bildiri Kitaplarında (proceedings) Basılan Bildiriler

1. Demir D.D., Sınır B.G., Kahraman E., The dynamic behavior of beam lying on Winkler type-foundation. The 6<sup>th</sup> International Conference on Pure and Applied Mathematics (ICPAM 2017), 22-25 Temmuz 2017, Prague, Czech Republic.
2. Sınır B.G., Demir D.D., Kahraman E., Dynamical analysis of beam type structural elements with discontinuities. International Conference on Mathematics and Engineering (ICOME 2017), 10-12 Mayıs 2017, İstanbul, Turkey.